

Cu - N

'C

BR - N BP - 5692a) - I 1903

(Benzylcarbazole Boczat A-496

(Benzylcarbazole

Kochmirelli)

Ann. chim. phys.

(ff)

1903, 29, 305-83

Rec. Acad. Cienc. Madrid.

V 2219

1908

Lloyd

1. Phys.Chem. 12, 398 (1908)

($\text{CuCl} \cdot n\text{NH}_3$; $\text{CuBr} \cdot n\text{NH}_3$; $\text{CuI} \cdot n\text{NH}_3$); kp

(P diss)

Circ. 500

W.

F

V-944

BP-547-V

1913.

Ephraim F

13. Z. physik. Chem. 83 (1913) 196-220

$\text{ZnSO}_4 \cdot n\text{NH}_3$; $\text{Zn}(\text{CHO}_2)_2 \cdot n\text{NH}_3$; (ΔH_f)

$\text{CuSO}_4 \cdot n\text{NH}_3$; $\text{FeSO}_4 \cdot n\text{NH}_3$; (ΔH_f)

Circ. 500



W

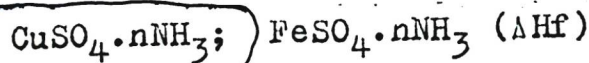
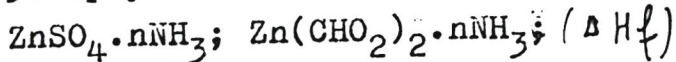
F

Bsp - V 944

1913

Ephrain F

13. Z. physik. Chem. 83 (1913) 196-220



1913

W

F

Circ. 500

V 2221

(914.

Bouzat and Chauvenet

l. Compt. rend. 158, 40 (1914)

CuCl₂·2NH₄Cl; CuCl₂·2NH₄Cl·2H₂O (_ΔHf)

Circ. 500

W.

F

Cu(NO₃)₂ · 6H₂O Bsp-1343-v 1914

Riesenfeld E.H.
Milchack C.

(cp)

"Z. Anorg. Chem."
1914, 85, 424-29

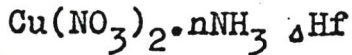


V 2214

1915

Ephraim and Bolle

2. Ber. 48, 1770 (1915)



Circ. 500

W.

Eutb W. F.

1917

B80 F-445

GeN(A Hf)

VI-3899

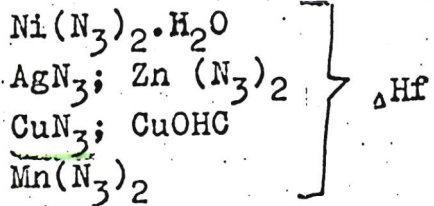
Wöhler von, Martin E.,
A. ges Schiess.- und Sprengstoffwe-
sen, 1917, 12, b 1-3.

V 2193

1917

L.,
Wohler ~~Vand~~ Martin F.

1. Ber. 50, 586 (1917)



Circ. 500

W.

EOTB φ. K.

F

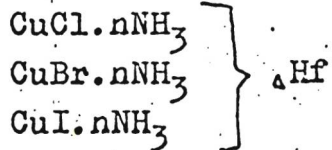
BP 2217-L

v 2217

1921

Biltz and Stollenwerk

2.Z. anorg. Chem. 119, 97 (1921)



Circ. 500

W.

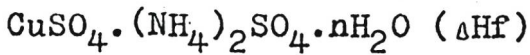
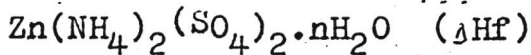
F

1924

Bp -V. 984

Caven, Ferguson

J. Chem. Soc., 1924, 125, 1307



ЕСТЬ Ч. Н.

F

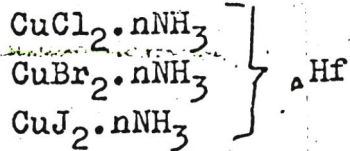
B

V 2218

1925

Biltz W. Brohan H. and Wein W.

l. Z. anorg. Chem. 148, 207-16 (1925)



Circ. 500

W.

ЕСТЬ Ф. К.
Est.f.k.

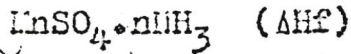
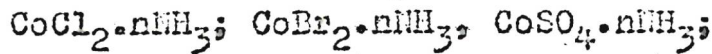
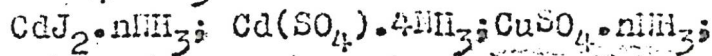
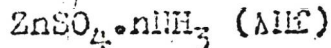
1926.

V 945

Есть Ф. И.

Ephraim

9. Ber. 59, 1219 (1926)



Circ. 500

W F

V. 1659

1927

Biltz W., Klatte K.A. and Rahlf's E.
Z. Z. anorg. Chem. 166, 339-(1927)

-50.

Hg₂Cl₂·nNH₃; HgBr₂·nNH₃, (ΔHf)
CuCl₂·nNH₃ (ΔHf)

Circ. 500.

M.,

ECTB A. K.

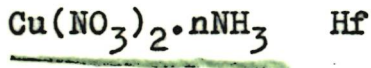
Est.fotok.

V 2202

1929

Portillo

2. Anales fis. y quim. (Madrid) 27, 544
(1929)



Circ. 500

W.

F

Hem roja & δ-ve

CuSeO₃ · 3NH₃ BP-2238-V 1930.

Hurd L.C.; et al.

(T_{tz})

"J. Am. Chem. Soc"
1930, 52, 3881-86.

V 2220

1930

Cu(ClO₄)₂•4NH₃; aq; ΔH

Portillo

Anal. soc. espagn. fis. 1930, 28, 1125

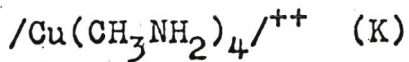
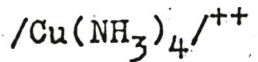
W.

ket roga F
of δ-ka

BGP 2210-L

- V 2210

1931



Aumeras M., Tamisier A.

Compt. rend. 1931, 192, 1156-8

The constitution and stability of two cupriammonium complexes.

CA, 1931, 4484

Ja.

Est. f.k. EOTB φ. M.

V 2207

1935

Neumann B. and Sonntag A.

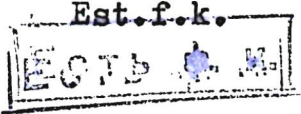
2. Z. Elektrochem. 41, 611 (1935)

4CuO·3N₂O₅ (ΔHf)

Circ. 500

W.

Est.f.k.



V 2208

$\text{Cu}(\text{NH}_3)_5$

1931

$\text{Cu}(\text{NH}_3)_n$ $\text{Cu}(\text{NH}_3)$; $\text{Cu}(\text{NH}_3)_2$; $\text{Cu}(\text{NH}_3)_3$; $\text{Cu}(\text{NH}_3)_4$; $\text{Cu}(\text{NH}_3)_5$; K

Bjerrum J.

Kgl. Dauske Videnskab. Selskab. Mathtys.
Medd. 11, N 5, 58 pp. (1931)

Copper ammonium complex salts.

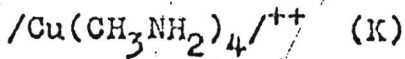
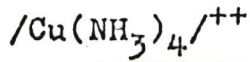
CA, 1932, 2364

Ja.

Est. f. k.
ECTB ♀. K.

V 2210

1931



Aumeras M., Tamisier A.

Compt. rend. 1931, 192, 1156-8

The constitution and stability of two cupriammonium complexes.

CA, 1931, 4484

Ja.

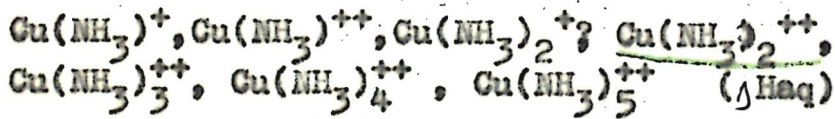
Est. f.k. ECTB φ. N.

V 2209

1934

Bjerrum J.

J. Kgl. Danske Videnskab. Selskabs Mat. fys.
Medd. 12, N 15, (1934), 1-67



Circ. 500

Ja.

Est. f. k.
ЕСТЬ ф. к.

V 2209

1934

Bjerrum J.

3. Kgl. Danske Videnskab. Selskabs Mat.
fys. Medd. 12, No 15, (1934), 1-67

$\text{Cu}(\text{NH}_3)^+$; $\text{Cu}(\text{NH}_3)^{++}$; $\text{Cu}(\text{NH}_3)_2^+$;
 $\text{Cu}(\text{NH}_3)_2^{++}$; $\text{Cu}(\text{NH}_3)_3^{++}$; $\text{Cu}(\text{NH}_3)_4^{++}$;
 $\text{Cu}(\text{NH}_3)_5^{++}$ (Δ Haq)
Circ. 500

Ja.

Esterf. k. b. H.

բարեկ

25°

ՕՐՆԵԿ 200

ՕՐ(ՄԻ³)²₊₊ (ՊԲՀ)

ՕՐ(ՄԻ³)⁵₊₊? ՕՐ(ՄԻ³)³₊₊? ՕՐ(ՄԻ³)⁴₊₊?

ՕՐ(ՄԻ³)₊? ՕՐ(ՄԻ³)₊₊? ՕՐ(ՄԻ³)⁵₊?

ՃՂԱՅ ԽԵՂԳ 35° ԽՕ ԵՇ (ԵՇԵՒ)° Ե-ԵՎ

2° ԿՑԻ ՊԵՏԱԿԱՆ ԱՐԴՅՈՒՆԱԿԱՔ ԶԵԼԵԿԱՔ ԽԵՎ°

ՅԵԼԵԿԱՔ 2°

Λ 5506

V 2195

1939

Juza R. and Hahn H.

l. Z. anorg. Chem. 241 172-8 (1939)

Cu₃N ΔHf

Circ. 500

W.

Est.f.k.

EOTB φ. H.

V 2196

1940

Cp (Cu_3N ; Na_3N , NbN)

Sato S.i., Sogabe T.

Bull. Inst. Phys. chem. Research (Tokyo)

1940, 19, 943-50, Sci. Papers Inst.

Phys chem. Research (Tokyo) 1941, 38,

174-82 (in English)

CA., 1941, 3156²

B

5

F

CuSO₄ · nNH₃ BP-2224-V 1943.

Hart A.B

Partington F.R.

(11f)

"J. Chem. Soc."

1943, 104-118

$Zn(O_3SNH_2)_2 \cdot 4H_2O$ (T_m)

✓983

$Cu(O_3SNH_2)_2 \cdot 2H_2O$ (T_m)

1946

Oberhauser B.F., Urbina C.H.E.
Anales facultad filosóf.y
educación, Univ.Chile, Sección quim
1946, 3, 109-17.

"Physical and chemical properties
of sulfamic acid".

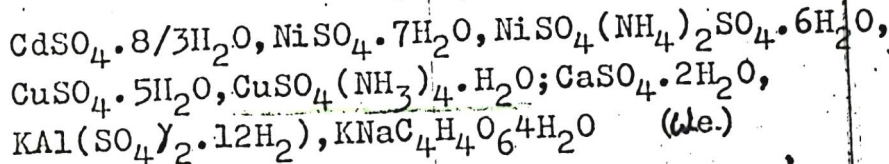
C.A., 1947, 1944d

Hem b
D-rag 90

K

V 1321

1951.



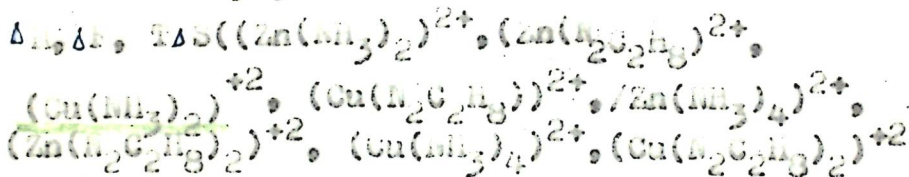
Matsumara O.
Met. Faculty Sci. Kynsyu Univ. 1951, 1B, 1-3
Infrared absorption bands of water of crystallization.

Chem. Abstr. 1952, 46,
4365i

J.

1953

v 1349



Spike G.G., Harry R.W.

J. Amer. Chem. Soc., 1953, 75, p. 3770-3772

Thermodynamics of chelation. II bond energy effects in chelate ring formation

PK., 1955, p. 18, 39953

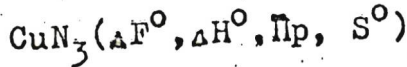
Ja F

Есть ф. к.

890 2192-D

v 2192

1953



Suzuki S.

J. Chem. Soc. Japan, Pure Chem. Sect., 1953, 74

269-71

Thermodynamic studies of cuprous azide.

CA, 1953, 11934c

W., Ja.



ФВ-Х-516

1953

$\text{Cu}(\text{NH}_3)_4^{+2}$

Янчарский К.Б., Градова З.М.

№. обн. земли, 1953, 23, № 5,
414-720.

$\delta \text{H}_{\text{mix}}$

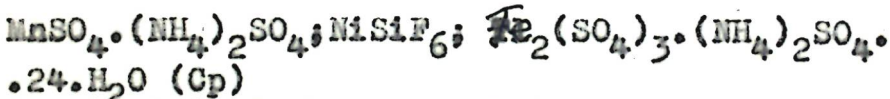
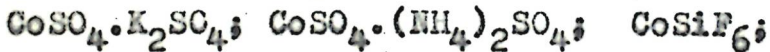
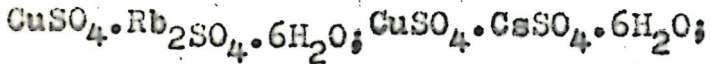
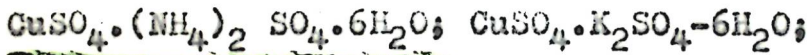
$\text{Cu}(\text{NH}_3)_4\text{SO}_4 \cdot \text{H}_2\text{O}$ XVI-6013 1954

Simerska T.

Кречет. Ceské Rose. casop. fis.,
січень 1954, 4, N3, 250-260.

V 225

1955



Benzie R.J., Cooke A.H., Whitley S.

Proc. Roy. Soc. 1955, A232, N1189, 277-89

Interaction effects in some paramagnetic salts

PJX, 1957, 326

Be.

Est.f.k.	E.C.T.b	Φ . K.
----------	---------	-------------

$\text{Cu}(\text{N.S})_2$

Goehring H. u. gp.

1953

Z. anorg. allg. Chem.,
278, N 1-2, 1-11'

О многостадийных
соединениях металлов.

II. многостадийные
— Pb, Tl, Cu u Ag.

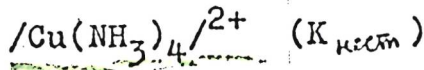


18

V 2212

V-558

1955



Siddhanta K.S., Guha P.M.

J. Indian Chem. Soc., 1955, 32, N 6, 355-65

The study of imperfect complexes. Part III.
The cuprammine complex. A calorimetric study v
by Job's modified method of continuous varia-
tion.

PJX, 1956, N 9, 25413

Ja.

F

VI-3822 V 2643 ~~Dec 2000~~ BP-313-II 1956

CuN₃, Hg₂N₆, AgN₃, TlN₃, PbN₆, NH₄N₃,
CaN₆, BaN₆, LiN₃, NaN₃, KN₃, RbN₃, CsN₃,
(ΔH_f°)

gray P., Waddington T.C.

Proc Roy Soc., 1956, A-235, N 1200, 108-119

M, B, Ги.

ЕСТЬ Ф. К.

$\text{Cu}[\text{N}(\text{SD}_2 \cdot \text{NH}_2)_2]_2 \cdot \text{H}_2\text{O}$

1956

Б9-2230-IV

Волштейн Р. И.

Тицаржевская Н. Н.

Селушкин И. С.

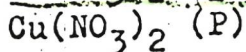
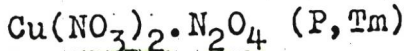
(Tm)

"Н. одес. Химии"

1956, 26, № 2, 389-93

V 2197

1957



Addison C.C., Hataway B.J.

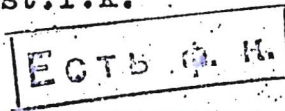
Proc. Chem. Soc., 1957, Jan., 19

Gaseous copper nitrate.

PJX., 1957, 57256

Be.

Est.f.k.



~~Cu(NH₃)₈O₂~~ BP-2225-V
Fritz, Pinch. 1957.

Cu-седин Fritz, Pinch.
J. Amer. Chem. Soc., 1957, 79,
No 14, 3644 - 3646

Хорошо магнитная
вещество состоящее из магнитных
частей сферической формы -
(Fe²⁺VO) памяти сепарации
магнита при 1,3 до 24°K

X-58-6-16830

В99 2143-E

V 2143

1957

Cu⁺⁺ и Ni⁺⁺ комплексы с NH₃} (ΔH_{mix} , ΔH_f)

Димитровский Р.Б., Митюков Р.Н.
(Кс) (ΔS комп.)

Ж. физ. хими, 1957, 31, №4, 842-50

Измерение термодинамических функций
при ступенчатом комплексообразовании

1. Аддитивные комплексы никеля и меди.

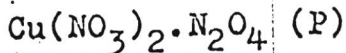
PJX, 1957, 76569

Ja.

F

V2205

1958



Addison C.C., Hathaway B.J., Logan N.

J. Inorg. and Nucl. Chem., 1958, 8, 569-71,
Discuss., 571

Volatile copper nitrate, an unusual coordination complex.

PJX, 1959, 26722

M., Be.

F

CuSO₄ · 4NH₃ Bsp-2222-V 1959

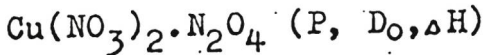
11

Anous ch. ch. T.

$\text{CuSO}_4 \cdot 3\text{NH}_3$	NH_3 , Rec. trav. chim"
SHF	1959, 78, N2, 104-8

V 2206

1960



Addison C.C., Hathaway B.J.

J.Chem. Soc., 1960, Apr., 1468-74

Thermal stability and solution properties
of copper nitrate-dinitrogen tetroxide.

PJX, 1961, 2B27

Be., M., J.

ECTB ф.к.
Est.f.k.

V 2194

1960

Cu₃(N₃)⁺ (Kp)

El. Shamy H.K., Nassar M.F.

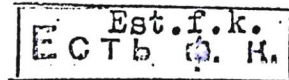
J. Inorg. and Nucl. Chem., 1960, 16, N 1-2

124=30

Studies on metallic azides V. A study of cupric azide reaction.

PAK, 1961, 24B51

W., Ja.



V 2216

1960

CuBr₂ · NO(Kp, Do, Hr)

Fraser R.T.M., Dasent W.E.

J.Amer. Chem. Soc., 1960, 82, N 2, 348-51

The composition of the nitric oxide complexes
of cupric naliides.

PJX, 1960, 95913

M., J.

Est.f.k.

ECTB. W.H.

1960

V 1064

 $\text{Mn}(\text{N}_2\text{H}_4)_2\text{Cl}_2$, $\text{Fe}(\text{N}_2\text{H}_4)_2\text{Cl}_2$, $\text{Co}(\text{N}_2\text{H}_4)_2\text{Cl}_2$,
 $\text{Ni}(\text{N}_2\text{H}_4)_2\text{Cl}_2$, $\text{Cu}(\text{N}_2\text{H}_4)_2\text{Cl}_2$, $\text{Zn}(\text{N}_2\text{H}_4)_2\text{Cl}_2$ (V)

Sacconi L., Sabatini A.

Nature, 1960, 186, N 4724, 549

Ряд Ирвинга-Вильямса в расположении металлов по частотам металло-тиланд в некоторых комплексах с гиразином

РХ., 1960, N 22, 87453

J

V 2215

1961

CuCl₂•NO (Kp)

CuBr₂•NO (Kp)

Fraser R.T.M.

J. Inorg. and. Nucl. Chem. 1961, 17, N 3-4
265-72

The dissociation of nitric oxide-copper (II) halide complexes in alcohols. The preparation of the copper (II) fluoride nitrosyl.

PJX, 1962, 6B28

M

F Est.orig.

1961

20Б250. Удельная теплоемкость $\text{Cu}(\text{NH}_3)_4\text{SO}_4 \cdot \text{H}_2\text{O}$ ниже 1° К. Haseda T., Miedema A. R. Specific heat of $\text{Cu}(\text{NH}_3)_4\text{SO}_4 \cdot \text{H}_2\text{O}$ below 1° K. «Physica», 1961, 27, № 12, 1102—1112 (англ.).—Путем анализа данных о структуре и магнитных свойствах $\text{Cu}(\text{NH}_3)_4\text{SO}_4 \cdot \text{H}_2\text{O}$ показывается, что в магнитном отношении этот кристалл нужно рассматривать как совокупность параллельных линейных цепей с антиферромагнитным обменным взаимодействием, причем взаимодействие между цепями следует считать приблизительно в 100 раз меньшим, чем взаимодействие внутри цепей. Наличие взаимодействия между цепями приводит к появлению пика в магнитной части теплоемкости; пик сдвинут в сторону тем более низких т-р, чем слабее это взаимодействие. Экспериментально теплоемкость и магнитная восприимчивость $\text{Cu}(\text{NH}_3)_4\text{SO}_4 \cdot \text{H}_2\text{O}$ измерены вплоть до 0,03° К. Принцип метода — измерение скорости изменения т-ры монокристалла и измерение потока тепла. В соответствии с теоретич. анализом оказалось, что теплоемкость проходит через широкий максимум типа Шоттки вблизи 3° К и небольшой узкий максимум при 0,37° К, который может соответствовать наличию дальней магнитной упорядоченности. Измерения маг-

Си-Садам.

Ср

ниже 1°К

х. 1962 .20.

сделано

Б90-2224-7

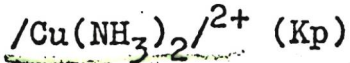
пинтой восприимчивости, выполненные одновременно с измерениями теплоемкости, в общем подтвердили эту картину. Отношение обменного интеграла для взаимодействия внутри цепей к постоянной Больцмана найдено равным -7° К.

С. Дембовский

СГВ₂
3Х

V 2213

1968



Swinarski A., Wojtczok J.

Acta chim. Acad. scinet. nung., 1961, 26,
N 1-4, 381-91

Analytische Anwendung der Methode der poten-
tiometrischen Oberfläche.

PJX, 1962, 2D7

Ja.

Est. orig.

C4 H12 C6V

BP-L-5205

1962

(T6)

Gerry G. W., Hudson H.R.

U.G.P.

J. Chem. Soc.

1962, 113-119

B99 3297 VI 3297. 1962

CuSCN^+ , CdSCN^+ , NiSCN , ZnSCN^+ (K_p)

Kodama M., Hanawa K.

Bull. Fac. Arts and Sci.,
Ibaraki Univ., Natur. Sci., 1962,
v13, 9-16

PJX, 1964, 11B62.

B. dL

V 2228

1962

$\text{CuKSO}_4 \cdot 2\text{H}_2\text{O}$, (Cp)

$\underline{\text{Cu}(\text{NH}_3)_4\text{SO}_4 \cdot 2\text{H}_2\text{O}}$

Miedema A.R., Haseda T.

Probl. Low Temp. Phys. Thermodyn. 3, 159-65
(1961) (Pub. 1962)

Apparatus for measuring specific heats down
to 0,03°K.

EOTB & K.

CA, 1963, 59, N10, 10997c
Est.f.k.

Be.

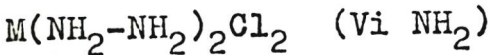
~~Cu~~ $\text{Cu}(\text{NH}_3)_2\text{Cl}_2$ XVI-6020 1962

Zsoldos László.

Kpuscér. Magyar fiz. folyóirat, 1962, 10, N3,
189-198.

3465-VI

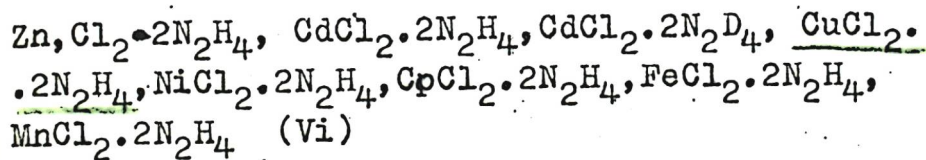
(963)



Sacconi L., Sabatini A.

Inorg. and Nucl. chem., 1963, 25, N 11, 1389-93

The infra-red spectra of metal (II) -hydrazine complexes.



PJX, 1964, 165123

J.

1964

V 987

Kohler K., Franke W.

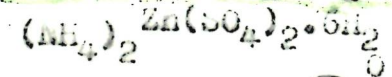
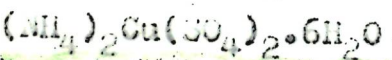
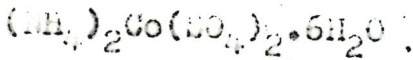
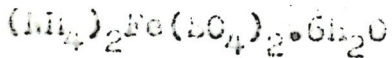
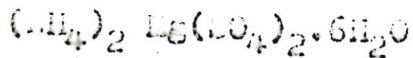
Z. Anorg. Chem., 1964, 331, (1-2), 17-26

The thermochrometry of hydrates. IV.
Isotopic relations between the Tutton
double sulfates of the I_{II}, II-II series
and their decomposition products

EOTD 8. 11.

...Be

Ch., 1964, 61, 11, 12939



(Tm, P)

B99 5720-17
Cu(NH₃)₄SO₄ · H₂O. 1964.

cr. etc.

Oguchi T.

" Phys. Rev.", 1964, 133, N4A,
1098-1099.

Exchange interactions in Cu(NH₃)₄:
· SO₄ · H₂O

PX, 1964, 22 542

Me φ

Cu-N

1964

(NH₄)₂Cu₆O₇ Seki Sugan.

· 2H₂O

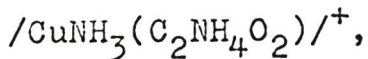
BTT. n 7 cm². 49

Cp (11-300°K)

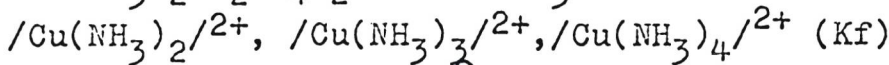
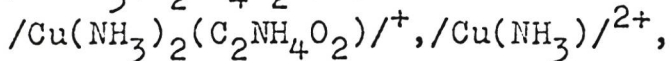
SH/T

B9 4495-VI

1965



VI-4495



Bonnet M, Martin R.P., Paris R.A.

Bull. Soc. Chim. France 1965, N1, 176-86.

Application de la metode de la surfale
potentiometrique à l'etude du systeme
chivre-ammoniac-glysine.

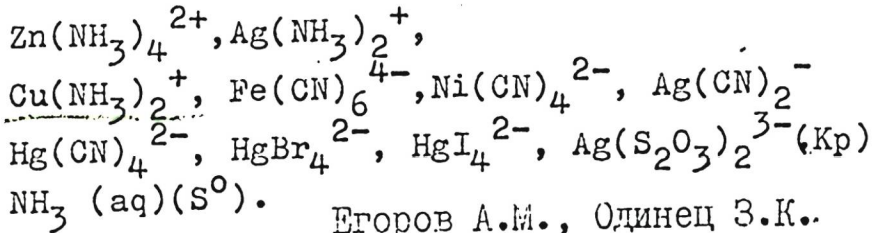
RX., 1966, 1B42

Ja,

F

VI-4521

1465



Егоров А.М., Одинец З.К..

Сб. научн. трудов Гос. научн. иссл. Ин-та
Цветн. метал., 1965, № 23, 247-5.
Температ. зависимость констант нестабильности
ряда комплексных ионов.

Ja,

F

CA, 1966, 64, N6, 7425f

B9P 4305-LT

1965

VI-4305

$[\text{Cu}(\text{NH}_3)_x]^{2+}$ (Kp)

Mercier R.C., Bonnet M., Paris M.,
Bull.Soc.Chim.France, 1965(10), 2926-32

Spectrophotometric determination of the
stability constants of varions complexes
of copper (II) and vanadium (II).

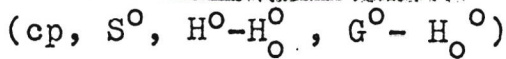
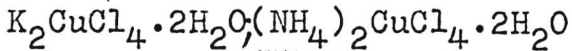
Ja,

F

CA., 1966, 64, N4, 4338e

1465

VI-4424



Suga H., Sorai M., Yamanaka T., Seki S.

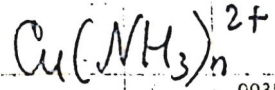
Bull-Chem-Soc.Japan., 1965, 38, N6, 1007-15.

Heat capacity and thermodynamic functions of
 $\text{K}_2\text{CuCl}_4 \cdot 2\text{H}_2\text{O}$ and $(\text{NH}_4)_2\text{CuCl}_4 \cdot 2\text{H}_2\text{O}$ from 13
to 310°K .

RX., 1966, 56674

Be,

F.

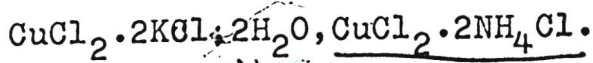


JL-4894

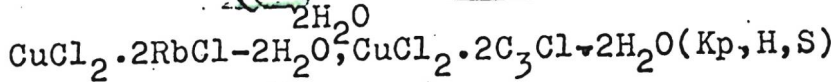
1966

99359n Standard free energy of formation of copper ammine complex ions. Zlata A. Pavlovic and Dragica B. Dodig (Technol. Fak., Tuzla, Yugoslavia). *Glas. Hem. Drus.*, Beograd 31 (2), 73-81 (1966) (Serbian). On the basis of the stability consts., the values of standard free energy of formation of $\text{Cu}(\text{NH}_3)_n^{2+}$ complexes were calcd. ΔF° values (keal./mole) are as follows (for $n = 1-6$): +3.52, -7.62, -17.9, -28.8, -31.84, -34.8. An approx. linear dependence of ΔF° values on the no. of attached NH_3 mols. (up to $n = 4$) was found. A similar relation was found for $\text{Cu}(\text{NH}_3)_n^+$ ($n = 1, 2$) complexes. Some other kind of bonding of the 5th and 6th NH_3 mols. is concluded from the form of the $\Delta F^\circ = f(n\text{NH}_3)$ dependence ($n = 1-6$). 8 references.
V. Vesely

C.A. 1968-68-22



VI-498
1966



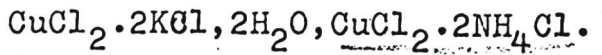
Perret R.

Bull-Soc.chim.France, 1966, N10, 3190-93.

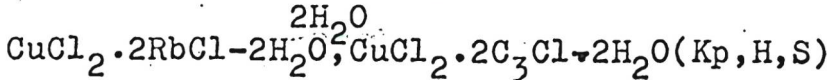
Sur les sels doubles de cuivre. I. Les
hydrates des chlorures doubles de cuivre et
de metaux alcalins. Tensions de dissociation
des chlorures d'acides dihydrates.

Est/orig.

RX., 1967, 135638 M,



VI-4078



Perret R.

Bull-Soc.chim.France, 1966, N10, 3190-93.

Sur les sels doubles de cuivre.I.Les
hydrates des chlorures doubles de cuivre et
de metaux alcalins.Tensions de dissociation
des chlorures dables dihydrates.

RX., 1967, 13^b638 M,

Est/orig.

B90 4034-H

1967

$\text{CuNaH}_4(\text{Kp})$

Banerjea D.; Singh G. P.
Z. anorg. und allgem. Chem.
1967, 349, N 3-4, 213-219

VI-4034

1967

MnN₂H₄, CoN₂H₄, NiNH₄, CuN₂H₄,
ZnN₂H₄ (K_p)

Banerjea D., Singh J.P.

Z.anorgan.und allgem.Chem., 1967, 349, N3-4,
213-19.

Studies on the hydrazine complexes of some
bivalent metal ions in aqueous solution.

RX., 1967, 20B181 W, Ja, F

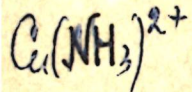
~~Cu(NH₃)₆~~ XVI-6024 1967

X=Br, Cl, I. Distler T., Vaughan P.A.

Received.

published. Inorgan. chem., 1967,

6, N¹, 126 - 129.



VI-5630

1967

57756p Thermodynamic study of complex copper ammine ions. Jean Brenet and Zlata Povlovic (Fac. Sci., Strasbourg, France). *J. Chim. Phys.* 64(4), 713-18(1967)(Fr). The linear relation between the free enthalpy of formation, ΔG° , of complex ammines of Cu(II) and the no. of NH_3 groups in the complex was used together with the thermodynamic function, $\pi = A(U_{h.c} - U_{h.a})$, (v. kcal.) where A is the affinity of the chem. reaction and $(U_{h.c} - U_{h.a})$ is the difference in redox potentials of the electro-chem. reactions involved in producing the chem. reactions, to verify the value of -28.8 kcal. for the free enthalpy of formation of $\text{Cu}(\text{NH}_3)^{2+}$ ions. This value is considerably higher than the figure (-40.8 kcal.) given by Latimer (*Oxidation Potentials*. New York. 1953) but agrees with anal. considerations.

F. Learmonth

16f

C.A. 1967 07.12

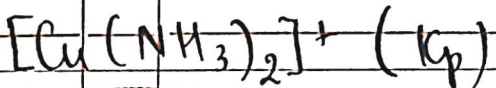
1967

Bcp-VI-4456 $\text{CuCl} \cdot \text{C}_2\text{H}_5\text{NH}_2$, (II) $\text{CuCl} \cdot 2\text{C}_2\text{H}_5\text{NH}_2$ (III), $\text{CuCl} \cdot 3\text{C}_2\text{H}_5\text{NH}_2$ (IV) (T_m , H° , G° , S°)~~Clifton J.R., Yoke J.T.~~Inorg. Chem., 1967, 6(6), 1258-60.Neutral and anionic complexes of copper(1)
chloride with ethylamine.

Ja,

F

CA, 1967, 67, N6, 28847p.



VI 4609

1967

Fisher J. F., Hall J. L.

Analyt Chem. 1964, 39, N13,

1550-56

15cts opnng.

des

Cu(CH₃NH₃)₂Cl₄

1967

Pag. 1612

99339f Observation of two transition temperatures in the heat capacity of a two-dimensional ferromagnet. J. Koppen,
R. Hammersma, J. V. Lebesque, and A. R. Miedema (Univ.
Amsterdam). *Phys. Lett.*, A 25(5), 376-7(1967)(Eng). The
heat capacities of ferromagnetic Cu(CH₃NH₃)₂Cl₄ and Cu(C₂-
H₅NH₃)₂Cl₄ were investigated between 1 and 25°K., as a function
of the magnetic 2-dimensional crystal structure. Two transi-
temps. in the heat capacity curve were observed, 17.2° and
10°K. for Cu(C₂H₅NH₃)₂Cl₄ and 16°K. and 5°K. for Cu(CH₃-
NH₃)₂Cl₄. The higher transition temp. was ascribed to the
isolated 2-dimensional ferromagnet, and the lower to the onset of
long-range ordering. Below 4°K., the magnetic heat capacity
was proportional to temp. GYJN

C_p
T_{tr}

C.A. 1968-68-22

CuN_3^+

B9 - 4417-VI

1967

20 Б1000. Потенциометрическое исследование системы $\text{Cu}^{2+}-\text{N}_3^-$. Maggio Francesco, Romano Vincenzo, Pellerito Lorenzo. Indagini potentiometriche sul sistema $\text{Cu}^{2+}-\text{N}_3^-$. «Ann. chim.», 1967, 57, № 2, 191—202 (итал.; рез. франц., англ.)

При 25° в водн. кислой среде (HClO_4) с ионной силой (μ) 1,0 и 3,0 (NaClO_4) при конц-ии $\text{Cu}(\text{ClO}_4)_2$, равной $10^{-2} M$, и при изменении конц-ии NaN_3 в пределах $10^{-3}-10^{-2} M$ изучены равновесия $\text{Cu}^{2+} + \text{N}_3^- \rightleftharpoons \text{CuN}_3^+$ (константа равновесия β_1) и $\text{H}^+ + \text{N}_3^- \rightleftharpoons \text{HN}_3$ (константа равновесия β). При $\mu=1$ $\beta_1=1,1 \cdot 10^2$ и $\beta=2,75 \cdot 10^4$; при $\mu=3$ $\beta_1=5,6 \cdot 10^2$ и $\beta=6,09 \cdot 10^4$. A. C. C.

2 · 1967 · 20

B99 4549-17

1967

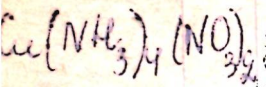
$\text{Cu}(\text{NH}_3)_n$ Haffender and Lawry
 (K_4) J. inorg. nucl. Chem.,
1967, vol. 29, pp.
1499 - 1503.

$\text{Cu}(\text{NO}_3)_2$ (%) Глехомкасе В.Ф. 1967

$\text{Cu}(\text{NO}_3)_2$ (%) МСПХ,
40, N8, 1843

m.φ.

$(\text{Cu. NaNO}_3)_I$



6 E533. Термоемкость Cu(NH3)4(NO3)2. Rogers R. N., Dempsey C. W. Specific heat of Cu(NH3)4(NO3)2. «Phys. Rev.», 1967, 162, № 2, 333—335 (англ.)

(CR)

С целью проверки применимости теории, развитой для модели одномерной спиновой решетки с магн. упорядочением в виде линейной цепочки, измерена теплоемкость тетрааминового нитрата меди (THM) в интервале $T = 1,2\text{--}16^\circ\text{K}$. Кривая температурного хода теплоемкости за вычетом ее T^3 -части хорошо согласуется с теорией Бонниера и Фишера и сходна с кривыми для других в-в с магн. порядком в форме линейных цепочек. Сравнение с вычислениями Бонниера — Фишера позволяет считать, что THM образует антиферромагн. цепочку с гейзенберговской константой взаимодействия $3,70^\circ\text{K}$. Библ. 10.

A. Кикони

VI-5742

4.1968.6.2

$\text{Cu}(\text{NH}_3)_4(\text{NO}_3)_2$

VI-5742

1987

103339e Specific heat of $\text{Cu}(\text{NH}_3)_4(\text{NO}_3)_2$. R. N. Roger
and C. W. Dempsey (Sandia Lab.; Albuquerque, N. Mex.).
Phys. Rev. 162(2), 333-5(1967)(Eng). The sp. heat of $\text{Cu}(\text{NH}_3)_4(\text{NO}_3)_2$ was studied at 1.2-16°K. The results show a broad max. similar to that reported in other substances that magnetically order in linear chains. By comparing with the calens. of Bonner and Fisher (*Phys. Rev.* 135(3A), 640-58(1964)) it is detd. that the substance forms antiferromagnetic linear chains with a nearest-neighbor Heisenberg interaction const. of $J/k = (3.70 \pm 0.04)^\circ\text{K}$.

RCPJ

Cp

C.A. 1987. 04. 22

Cu(N₃)₂

Кристал.
структура

1968
9 Б450. Замечание о кристаллической структуре
 $\text{Cu}(\text{N}_3)_2$. Agrell Ingela, Lampevik Stefan. No-
te on the crystal structure of $\text{Cu}(\text{N}_3)_2$. «Acta chém. scand.»,
1968, 22, № 6, 2038—2040 (англ.)

Несмотря на то, что два недавно проведенных незави-
симых определения крист. структуры $\text{Cu}(\text{N}_3)_2$ дали весь-
ма близкие результаты, предпринято повторное уточне-
ние структуры с использованием эксперим. данных обоих
исследований. Уточнение выполнено методом наимень-
ших квадратов с учетом анизотропных индивидуальных
тепловых поправок, $R=0,055$. Полученные результаты в
основном совпадают с известными; особенно важен тот
факт, что подтверждено предположение ранее различие
в степени асимметрии двух кристаллографически незави-
симых азидных групп. Об этом различии свидетельст-
вуют также результаты параллельно проведенного
ИК-исследования. Межатомные расстояния в структуре:
 $\text{Cu}-\text{N}$ 1,988—2,707, $\text{N}-\text{N}$ 1,094—1,214; валентные углы:
 $\text{N}-\text{Cu}-\text{N}$ 78,7—101,6°.

С. В. Рыкова

II. 1969. 9

Cu^{2+} - N - Koerper:

VI-5919

1968

23581z Metal ions and hydrogen peroxide. XIX. Cu^{2+} -catalyzed reaction of hydrogen peroxide and hydrazine or hydroxylamine. Erlenmeyer, Hans; Flierl, Claus; Sigel, Helmut (Univ. Basel, Basel, Switz.). *Chimia* 1968, 22(11), 433-4 (Ger). The reactions between H_2O_2 and NH_2NH_2 , and H_2O_2 and NH_2OH , catalyzed by Cu^{2+} and by the Cu^{2+} -2,2'-bipyridyl 1:1 complex were investigated. The stability consts. for the Cu^{2+} - NH_2NH_2 , Cu^{2+} - NH_2OH , Cu^{2+} -bipyridyl- NH_2NH_2 , and Cu^{2+} -bipyridyl- NH_2OH complexes were calcd. About 10% of the complexes were formed at the given pH; Cu^{2+} -bipyridyl- NH_2NH_2 (pH 5.7); Cu^{2+} -bipyridyl- NH_2OH (pH 5.0); Cu^{2+} - NH_2NH_2 (pH 5.0); and Cu^{2+} - NH_2OH (pH 4.3).

H. J. Brandenberger

C. A. 1969. 70-6

CuN₃⁺, NiN₃⁺, UO₂B⁺ (Kcias.)

1968

Maggio F., .. VI 7331⁶⁸

Corsi Semin. Chim., 1968, N° 9, 18-20.

(sumar)

Analytical studies with azide
and hydroxamate ligands.

Bachman!  8
Bachman 

CA1970, 43, N4, 19080e

Cu - N-coeg.

БФ-5408-IV

1968

CuBr₂

2NH₄Br

6 Б852. О двойных солях меди. II. Изучение системы CuBr₂-NH₄Br-H₂O при 0° и 20°. Определение давления диссоциации двуводных двойных бромидов меди и аммония. Реггет Ренé, д'Эсриенヌ Губерт.
Sur les sels doubles de cuivre. II. Étude du système CuBr₂-NH₄Br-H₂O à 20° C. Détermination des tensions de dissociation du bromure double de cuivre et d'ammonium dihydraté. «Bull. Soc. chim. France», 1968, № 6, 2379-2382 (франц.; рез. англ.)

Kр,

1 Наг,

Классическим методом прямости при 0° и 20° изучена система CuBr₂-NH₄Br-H₂O. Состав тв. фаз определялся по методу остатков Скрайнемакерса и методу ансамблей. В системе кристаллизуются CuBr₂·2NH₄Br.

X · 1969: 6

$\cdot 2\text{H}_2\text{O}$, CuBr_2 и NH_4Br ; двойная соль изоморфна соотв-щему двойному хлориду и р-ряется конгруэнтино от 0 до 45° . Определена р-римость двойной соли и рас-считана энталпия р-рения $\Delta H_{298}^0 = 3,450 \pm 0,250$ ккал/моль. Исследована потеря веса образца двойной соли при нагревании в условиях контролируемого давления паров воды. Измерено давление диссоциации по р-ции: $\text{CuBr}_2 \cdot 2\text{NH}_4\text{Br} \cdot 2\text{H}_2\text{O} \rightleftharpoons \text{CuBr}_2 \cdot 2\text{NH}_4\text{Br} + 2\text{H}_2\text{O}$ и для нее рассчитаны $\Delta H_{298}^0 = 14,600 \pm 0,250$ ккал/моль H_2O , $\Delta S_{298}^0 = 37,2 \pm 0,5$ энтр. ед. на моль H_2O . Сообщ. 1 см. РЖХим, 1967, 13Б638.

А. Борина

$[\text{Cu}(\text{NH}_3)_2(\text{SO}_4)_2 \cdot 6\text{H}_2\text{O}$ (ΔG .) 6 1968

P. Rodriguez de la Torre M. V., Nogareda C.,
Estud. Chem., Univ. Salamanca. 1968, No 3, 33-44.

Thermodynamics of copper ammonium
scheelite hydrates VI 6386

MOP 5

CA1969, 20, #18, 81627.c

1968

5 Б459. Изучение взрывчатых веществ. 1. Кристаллическая структура азида двухвалентной меди. Söderquist Rune. Studies on explosives. 1. The crystal structure of copper (II) azide, catena-diazidocopper (II). «Acta crystallogr.», 1968, V 24, № 3, 450—455 (англ.)

Рентгенографически (метод порошка и Вейссенберга, $\lambda\text{Cu}-K_{\alpha}$, 408 независимых отражений) исследованы кристаллы $\text{Cu}(\text{N}_3)_2$. Для получения каждой развертки использовался новый кристалл, поскольку происходило быстрое разрушение его под действием рентгеновского излучения. Параметры ромбич. решетки: $a = 9,084$, $b = 13,454$, $c = 3,079 \text{ \AA}$; $\rho_{\text{эксп}} = 2,58$, $\rho_{\text{выч}} = 2,604$; $Z = 4$; ф. гр. $Pbnm$. Координаты атомов найдены из двумерных проекций и трехмерного синтеза Фурье и уточнены методом наименьших квадратов в анизотропном приближении до $R = 5,9\%$. Кристаллы построены из бесконечных почти плоских цепей молекул, вытянутых вдоль оси c . Атом Суль

Cu(N₃)₂

структура

x · 1969

5

окружен в плоскости цепи четырьмя мостиковыми атомами N из почти линейных N_3 -групп ($Cu—N$ 1,995 и 2,003 Å) и двумя атомами N из соседних цепей (2,54 и 2,71 Å). За счет контакта $Cu—N$ 2,54 Å цепи связываются в гофрированные слои, перпендикулярные оси *b*, а за счет $Cu—N$ 2,71 Å слои образуют —кристаллич. структуру. Плоскость N_3 -групп образует с координатной углы 129,3 и 126,0. Расстояния N—N (концевые) 1,098 и 1,146 Å, N—N (внутренние) 1,199 и 1,213 Å.

З. А. Старикова

Cu(NH₃)₂(SO₄)₂·6H₂O [Cu-N-csg.] 1968
VII-6250

Расс.

ΔНаг

16 Б650. Термодинамические свойства гидратов ше-
нита меди и аммония. Тогге M. W. R. de la Noga-
r e d a. C. Termodinámica de los hidratos de la schönita de
cobre y amonio. «Acta salmant. Ser. cienc.», 1968, № 32,
33—34 (исп.; рез. англ.)

Методом переноса изучено давл. диссоциации (NH₄)₂-
Cu(SO₄)₂·6H₂O в интервале т-р 30—60°. Результаты та-
булированы. Установлено, что имеет место равновесие
$$(NH_4)_2Cu(SO_4)_2 \cdot 6H_2O \rightleftharpoons (NH_4)_2Cu(SO_4)_2 \cdot 2H_2O + 4H_2O$$
.
Теплота гидратации определена калориметрически и рав-
на 3055 ± 29 кал/моль H₂O. Табулированы результаты
определения теплоемкости и теплот образование из эле-
ментов.
B. Карелин

X. 1969. 16

903I8.7064

$\text{CuTeO}_3 \cdot \text{NH}_3 \cdot \text{H}_2\text{O}$

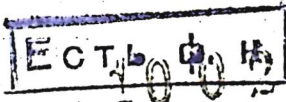
И 6258

Б92 6258 - И (о Наг, Пр б0757)

(1969)

Аквамицакат теллурита меди. Ганелина Е.Ш.
"Ж. неоргик. химии", 1969, I4, № 3,
857-858

дн

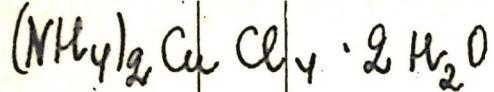


ПРИ

980 984 990

ВИНИТИ

1969



6 Б510. Определение положений атомов водорода в $(NH_4)_2CuCl_4 \cdot 2H_2O$ при помощи дифракции нейtronов.
Matković B., Peterson S. W., Willett R. D. The positions of hydrogen atoms in $(NH_4)_2CuCl_4 \cdot 2H_2O$ by neutron diffraction. «Croat. chem. acta», 1969, 41, № 2, 65—72 (англ.; рез. сербскохорв.)

Крист.
спир-ра

При помощи дифракции нейtronов определена структура тетрагональных кристаллов $(NH_4)_2CuCl_4 \cdot 2H_2O$, относящихся к пространственной группе $P4_2/mnm$, $Z=2$. Без учета не наблюдавшихся отражений R -индекс составлял 5,6 %. Установлено, что два атома кислорода воды с расстоянием Cu—O 1,98 Å и два атома хлора с расстоянием Cu—Cl 2,30 Å образуют плоскую группировку $Cu(OH_2)_2Cl_2$. Каждый атом меди, кроме этого,

X. 1970.

6

образует две длиные связи Cu—Cl 3,03 Å с двумя другими атомами хлора и, таким образом, образует искаженную октаэдрич. конфигурацию. Показано, что полная кристаллич. структура состоит из искаженных $[Cu(OH_2)_2Cl_2]Cl_2$ октаэдров, соединенных Н-связями, и NH_4 тетраэдров, к-рые расположены в полостях между трехмерными скелетами октаэдров.

О. Г. Гаркуша

Cu²⁺-NH₃

VI-4284

1970

KP

7829t Computer calculation of equilibrium constants of polycomplexes based on the least-squares method. Berthon, Guy; Luca, Constantin (Lab. Thermodyn. Chim. Electrochim., Fac. Sci. Poitiers, Pifiers, Fr.). *Chim. Anal. (Paris)* 1970, 52 (4), 391-6 (Fr). A computer least-squares method is described for calcg. stability consts. of metal-ion complexes. The method takes into consideration the exptl. uncertainties in free ligand concn. and av. no. of ligands bound to each metal ion. The method was applied to the Cu²⁺-NH₃ and Cd²⁺-imidazole systems. Results are compared with those obtained with other programs and literature exptl. data.

FBF

+1

C.A.1970.13.2

XI

1870

Gutkonsius

Degischer G.

Nancollas G. H.

ΔHf

N. Chem. Soc., t, (17),
1125

(All. Nü - round.)

Cu(OH)_n , $\text{Cu}(\text{NH}_3)_n \cdot 6 \bar{\text{V}} \text{I}$ 7230 1970

$\text{Cu}(\text{OH})(\text{NH}_3)_6$ (Kp)

Gübeli A.A., Kébert J., Côté P.J.

Tarillon R.

Helv. chim. acta, 1970, 53, N, 186-197 (フランス)

Деятельность аммиака на окись меди в
загрекоокомплексах из гидроксидов меди.

PHILIPS, 1970
10860

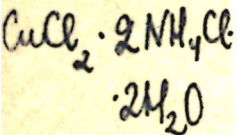
B① J

Температура растворения

Ce - N

1970

з Б1282. Теплоты растворения некоторых двойных солей. Қыдынов М. К., Усубалиев Дж., Ломтева С. А., Балкунова Л. В сб. «Материалы Научн. конференции, посвящ. 100-летию период. закона Д. И. Менделеева. Кирг. респ. правл. ВХО им. Д. И. Менделеева», Фрунзе, 1970, 79—80



Изотермическим методом при 25° измерены теплоты растворения $\text{CuCl}_2 \cdot 2\text{NH}_4\text{Cl} \cdot 2\text{H}_2\text{O}$, $\text{Zn}(\text{Mn, Co})\text{SO}_4 \cdot (\text{NH}_4)_2\text{SO}_4 \cdot 6\text{H}_2\text{O}$, равные (ккал/моль) 5,92; 10,60; 7,83 и 6,07 соотв. Установлено, что при растворении в воде изученных солей их тепловые эффекты эндотермичны.

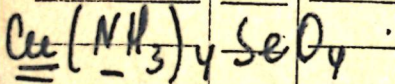
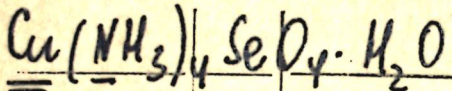
Р. Аистова

(+3)

$\Delta H_{\text{раств}}$

Х. 1971. 3

☒



X7224n Specific heat studies at low temperatures (1.4-20°K). Single crystal vanadium carbides. Antiferromagnetic linear chains: Cu(NH₃)₄SeO₄ · H₂O (copper tetrammine selenate monohydrate), Cu(NH₃)₄SeO₄ (copper tetrammine selenate), Cu[(NH₃)₂Cl]₂SO₄ · H₂O (copper sulfate diammine propanate monohydrate). Lowndes, Douglas H., Jr. (Univ. of Colorado, Boulder, Colo.). 1969, 225 pp. (Eng). Avail. Univ. Microfilms, Ann Arbor, Mich., Order No. 69-13,417. From *Diss Abstr. Int. B* 1970, 30(9), 4338-9.

SNDC

C.S. 1971.74.2

00922.7013 Cu(NO₃)₂·6CO(NH₂)₂; Cu(NO₃)₂·4CO(NH₂)₂
X Zn(NO₃)₂·4CO(NH₂)₂ 3
Zn(NO₃)₂·2CO(NH₂)₂ 21120 (Гм) 1970
р. № 00922.7010К

Физико-химические характеристики твердых
фаз тройных водных систем из мочевины
нитратов меди и цинка. Отомбаев А.Р. VI 7805
Рысмандеев К.

В сб. "Материалы Научн. конференции, посвящ.
100-летию период. закона Д.И. Менделеева.
Кирг. респ. правл. ВХО им. Д.И. Менделеева"
Фрунзе, 1970, 8-9

0201 НЧ 5

182 186

0192

ВИНИТИ

CuBr₂ · 2 NH₃

1980

- > 11 Б889. Термическое разложение CuBr₂·2NH₃ и Cu-Br₂. Tanaka Nobuyuki, Kagawa Masahiro.
The thermal decomposition of CuBr₂·2NH₃ and CuBr₂.
«Bull. Chem. Soc. Jap.», 1970, 43, № 11, 3468—3471
(англ.)

кинетика
термич.
разлож.

Термогравиметрическим методом в интервале т-р 105—220° в вакууме исследована кинетика термич. разложения CuBr₂·2NH₃. Показано, что процесс осуществляется согласно механизму: CuBr₂·2NH₃ ⇌ CuBr₂·NH₃+NH₃; Cu-Br₂·NH₃ ⇌ CuBr₂+NH₃; CuBr₂ ⇌ γ-CuBr+0,5Br₂ (1). На основании полученных данных подтверждается способность Br⁻-иона восстанавливать Cu²⁺ до Cu⁺. Показано, что положение равновесия р-ции (1) зависит от давл. Br₂ и т-ры. Представлено ур-ние, описывающее изменение свободной энергии р-ции (1) как функции т-ры:
 ΔG_1^0 (кал) = 1,10 · 10⁴ — 19,3 · T (T = 160—220°). Установле-

ΔG⁰ р-ци

X · 1981 · 11

но, что в начале р-ции (1) скорость ее выражается ур-нием 1-го порядка, а затем — ур-ием 2-го порядка. Последнее обстоятельство, по мнению авторов, объясняется влиянием CuBr. Из т-рной зависимости константы скорости р-ции 1-го порядка вычислены значения энергии активации (E) и предэкспоненциального фактора (A), равные соотв. $E=25,4 \text{ ккал/моль}$ и $\lg A = 10,4 (\text{мин}^{-1})$. Полученные данные сравниваются с лит. по кинетике термич. разложения гексааминcobальт-комплексов.

Э. А. Межов

CuN_3^+

B9-XVI-143

1971

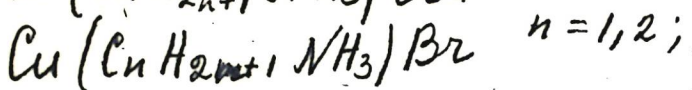
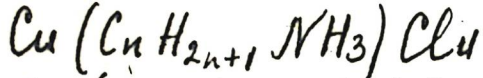
5) 19 B23. Расчет константы образования β^0 для реакции медь — азид в водных растворах. De Almeida Neves Eduardo F. Copper-azide reaction in aqueous solutions calculations of β_1^0 formation constant. «J. Inorg. and Nucl. Chem.», 1971, 33, № 2, 571—572 (англ.)

K_c

По полученным ранее эксперим. данным с использованием ур-ния Дебая — Хюкеля, полагая, что ионные радиусы N_3^- , CuN_3^+ и $\text{Cu}(2+)$ равны соотв. 3,5; 4 и 6 Å, рассчитано значение термодинамич. константы равновесия $\beta^0 = [\text{CuN}_3^+]/[\text{Cu}^{2+}][\text{N}_3^-] \cdot F = 718 \pm 30$, где F =функция коэф. активности ионов. С. У. Крейнгольд

X.1971.19

1971



7766q Specific heat of the two-dimensional spin-1/2 Heisenberg ferromagnet. Bloembergen, P.; Tan, K. G.; Lefevre, F. H. J.; Bleyendall, A. H. M. (Natuurkd. Lab., Univ. Amsterdam, Amsterdam, Neth.). *J. Phys. (Paris)* 1971, 32(2-3) (Suppl.), 878-9 (Eng). The exptl. heat capacity (C) vs. abs. temp. (T) curves of $\text{Cu}(\text{C}_n\text{H}_{2n+1}\text{NH}_3)\text{X}_4$ ($\text{X} = \text{Cl}$ or Br ; $n = 1-5$) showed a broad max. of $C/R \approx 0.36$ ($R = \text{ideal gas const.}$) centered at $kT/J = 1.1$ ($k = \text{Boltzmann const.}$). In the C vs. kT/J curves at $kT/J \approx 0.45$, very small λ -type anomalies were obsd., with heat contents that decreased with increasing n . The results were interpreted in terms of the spin-(1/2) quadratic Heisenberg ferromagnet.

(Cp)

C.A. 1974. 80 N2

~~1981~~ NH₄CuCl₃

Low-temperature infrared studies. VII. Infrared spectrum of and possible antiferromagnetic transition in ammonium trichlorocuprate NH₄CuCl₃. Heyns, A. M.; Schutte, C. J. H. (Univ. South Africa, Pretoria, S. Afr.). *J. Mol. Struct.* 1971, 8(3), 339-49 (Eng). According to the crystal structure detn. of NH₄CuCl₃ by Willett, et al., the NH₄⁺ ion in this compd. should be very much distorted. The behavior of the N-H vibrational modes in NH₄CuCl₃, however, is not in agreement with this distortion; vibrations which are activated according to predictions by the site group and factor group theories are

T_{bc}
not obsd; bands such as ν_4 have sym. shapes and the combination band of the torsional mode with ν_4 , viz. $\nu_4 + \nu_6$, does not appear, even at 17°K. These facts have led to the conclusion that the NH₄⁺ ion must have considerable rotational freedom in NH₄CuCl₃. During the cooling cycles the intensities of the N-H vibrations showed changes at ~85 and ~45°K, while the obsd. Cu-Cl vibrations within the chains remained virtually unchanged during these cycles. It was, therefore, concluded that at ~85°K a gradual structural change of one chain relative to another took place, which was completed at ~45°K where a possible antiferromagnetic transition occurred.

C. H. 1981. 45. 8

10503.1928
Ch

$\text{Cu}(\text{N}_3)_n^{2-n}$ (p.p.; H_2O)
(ICP) 29932

XVI 276

Senise Paschoal, De Almeida Neves Eduardo F.

Solubility study of copper(II) azide in aqueous sodium azide solutions of low ionic strength.

"J. Inorg. and Nucl. Chem.", 1971, 33, N 2,
351-358 (англ.)

0355 ПИК

339 340

В

ВИНИТИ

1971

 $[Cu(NO_2)_n]^{2-n}$

24 B79. Спектрофотометрическое определение констант устойчивости комплексов, образованных двухвалентной медью и нитрит-ионами в растворах перхлората натрия при 25°. Тимма вуоги Юнни. Spectrophotometric determination of the stability constants of complexes formed by copper(II) and nitrite ions in sodium perchlorate solutions at 25°C. «Suomen kem.», 1971, 44, № 7-8, B222—B228 (англ.)

K_p Спектрофотометрически при 25°, λ 430—50 нм и ионной силе μ 0,4994—3,995 ($NaClO_4$) изучена р-ция комплексообразования $Cu^{2+} + NO_2^- \rightleftharpoons [Cu(NO_2)_n]^{2-n}$, где $n=1, 2, 3$ и т. д. Используя полуэмпирич. ур-ние Дебая — Хюккеля и метод наименьших квадратов, рассчитали термодинамич. константы устойчивости комплексов $CuNO_2^+$ и $Cu(NO_2)_2$, равные $lg \beta_1 = 2,02$ и $lg \beta_2 = 3,03$. Зависимость $lg \beta_1$ и $lg \beta_2$ от $V \mu$ выражается кривой с минимумом. Проведено сравнение полученных данных с известными в литературе.

Э. П. Рязанова

X. 1971. 24

Cu(NH₄)₂Br₄ · 2H₂O

6 Б625. Экспериментальное исследование наведенной намагниченности Cu(NH₄)₂Br₄ · 2H₂O вблизи температуры Кюри. Velu E., Cadoul D., Lescuyer B., Renaud J. P. Experimental study of the induced magnetization Cu(NH₄)₂Br₄ · 2H₂O near the Curie temperature. «Phys. Lett.» 1971 A36, № 5, 443—444 (англ.)

Флюксметрическим методом вдоль оси легчайшего намагничивания C измерена наведенная намагниченность одноосного ферромагнетика Cu(NH₄)₂Br₄ · 2H₂O, т-ра Кюри для к-рого найдена равной $T_C = (1,828 \pm 0,001)^\circ\text{K}$. Вблизи T_C наведенная намагниченность хорошо описывается законом $M \propto H^{1/\delta}$ в области $0,5 < H < 200$ э при $\delta = 4,3 \pm 0,2$. Показано, что эта неоднозначность обусловлена, гл. обр., неопределенностью значения T_C . Отмечено, что полученное значение δ превышает ранее найденное при направлении поля, отличном от C .

И. В. Мирошниченко

ФМХ, 1972, № 6

Cu(NH₄)₂

Br₄ · 2H₂O

BP-XVI-408

1971

(39165b) Induced magnetization of diammonium copper tetrabromide dihydrate near the Curie temperature. Velu, E.; Cadoul, D.; Lecuyer, B.; Renard, J. P. (Inst. Electron. Fondam., Fac. Sci., Orsay, Fr.). *Phys. Lett. A* 1971, 36(5), 434-4 (Eng). The induced magnetization, M , vs. magnetic field, H , was measured for single-cryst. Cu(NH₄)₂Br₄·2H₂O, along the easy axis (c axis). At the Curie temp. ($T_c = 1.828^\circ\text{K}$), M is proportional to $H^{1/\delta}$ with $\delta = 4.3 \pm 0.2$. A rather good agreement with the "scaling laws" is obtained by assuming a logarithmic behavior of the sp. heat. However, the crit. indexes differ from the theoretical values in a spin 1/2 Heisenberg ferromagnet.

T
1971

C. st. 1972. 76.8

21 II 6.4853

СГ, X

Се·и N₂H₄ (kp)

00787

1972

XVI 928

Изучение комплексообразования двухвалентной меди с гидразином методом потенциометрии. Алиев Р.Я., Гусейнов И.Н., Кулиев А.Д.

"Ж. физ. химии", 1972, 46, № 10,

2657-2658

В

0751 ник

734 737

2 2

реф

винити

1972
Cu^{N3+}; Cu(N₃)₂; Cu(N₃)₃⁻; Cu(N₃)₄²⁻
20808.7285
CHL.7.5D

29932

(Kp)

Alpelda,
Neven Eduardo F. (ed) / Sonise Paschini.
Solubility study of copper(II) azide in
aqueous sodium azide solutions of high
ionic strength.

XVI 838

"J. Inorg. and Nucl. Chem.", 1972, v. 34, N. 6,
1915-1921

B
(копия)

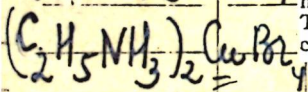
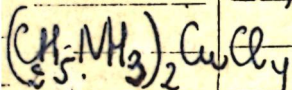
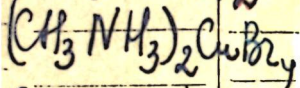
0670 РИК

663 665

11.11.74

ВИНИТИ

1972

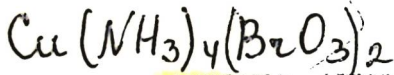
 T_{tr}

51857m Heat capacity of the nearly quadratic Heisenberg, $S = 1/2$, ferromagnet. Colpa, J. H. P. (Natuurkd. Lab., Univ. Amsterdam, Amsterdam, Neth.). *Physica (Utrecht)* 1972, 57(3), 347-80 (Eng). The Cu compds. of the general formula $(C_nH_{2n+1}NH_3)_2CuX_4$ ($n = 1-10$, $X \equiv Cl, Br$) are typical layer-type Heisenberg ferromagnets. Pronounced 2-dimensional properties have been obsd. in magnetic and heat-capacity measurements. This paper reports on low-temp. sp. heat expts., performed on 11 compds. at $0.15-0.7^{\circ}\text{K}$, i.e., at $0.02-0.1 T_c$, where T_c is the

cur. Hfpt.

C.A.'1972.76.10

Curie point. For most compds. the results are described by $C = \alpha T^{-2} + \gamma T$, where the T^{-2} term is attributed to the energy-level splittings of the Cu nuclei. The occurrence of the linear term agrees with the spin-wave prediction for 2-dimensional Heisenberg ferromagnets. Values for the exchange const., J , are derived from the linear term and compared with those derived from high-temp. susceptibility data. The deviations, or absence of deviations, from the linear behavior give information on the departure of the actual crystals from the ideal 2-dimensional Heisenberg ferromagnet. The influence of (intralayer) 2nd-neighbor interactions, anisotropy and interlayer exchange within the noninteracting spin-wave theory is calcd. A rather general method is developed to lower the dimension of the computer integration over a Brillouin zone by 1. The T^{-2} term in the sp. heat is not compatible with the hyperfine structure consts. derived from the exptl. g values by means of the expressions given by Abragam and Pryce.



1972

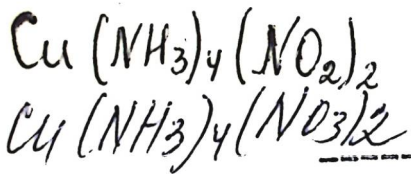
D) 89293d Combustion of copper(II) tetraammine salts. Gorbulov, V. V.; Shmagin, L. F. (Moscow, USSR). *Fiz. Goreniya Vzryva* 1972, 8(4), 523-6 (Russ). Heats of combustion were detd. for the combustion of $[\text{Cu}(\text{NH}_3)_4]\text{X}_2$ ($\text{X} = \text{BrO}_3, \text{ClO}_3, \text{ClO}_4, \text{MnO}_4, \text{NO}_3, \text{NO}_2, \text{IO}_3$). The rate of combustion is rapid for the BrO_3^- , ClO_3^- , ClO_4^- , and MnO_4^- complexes and slow for NO_3^- , NO_2^- and IO_3^- complexes. The complexes with slow combustion have a lower heat of combustion than those with rapid combustion.

ΔH_{comb} .

(76)

☒

C.A. 1973 78N14



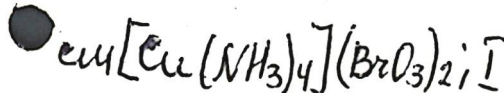
1972

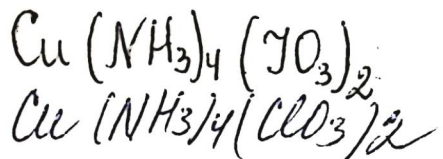
Gorbunov V.V. Shmagin L.F.

Fiz. Gorenija Vzryva.

1972, 8(4), 523-6.

All Comb.



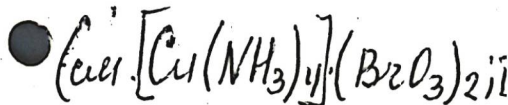


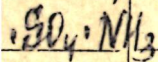
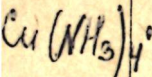
1972

Gorbunov V.V. SHmagin L.F.

Fiz. Gorenija Vzryva.

$\Delta H_{\text{comb.}}$ 1972, 8(4), 523-6.





(c)

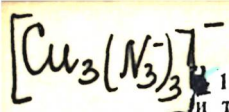
1 E1244. Зависимость интеграла обменного взаимодействия J от параметра решетки в одномерных антиферромагнетиках, полученная путем измерений теплоемкости. Rogers R. N., Finegold Leonard, Moggis Bruno. Variation of exchange integral J with lattice spacing from specific-heat measurements on linear-chain antiferromagnets. «Phys. Rev. B: Solid State», 1972, 6, № 3, 1058—1061 (англ.)

В интервале т-р 1—20° К измерена теплоемкость соединения Cu(NH₃)₄SO₄ · NH₃. Показано, что эксперим. данные по теплоемкости хорошо описываются теоретич. соотношениями для одномерных антиферромагнетиков со спином 1/2 и интегралом обменного взаимодействия $J = 2,96 \pm 0,02$ ° К. Проведено сравнение полученных даных с результатами других авторов (РЖФиз, 1970, 7Е727), полученными на других одномерных антиферромагнетиках, и обнаружено, что интеграл обменного взаимодействия меняется от соединения к соединению по ф-ле $J = Ar^{-n}$, где r — расстояние между ближайшими ионами Cu²⁺, $n = 10,9 \pm 0,3$.

Р. З. Левитин

1972

1972



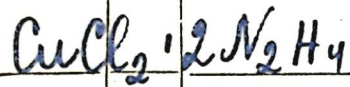
1 В76. Константы образования тетраазидокупроат-
и триазидокупрат-ионов в растворах азода натрия при
ионной силе раствора 4,0. Senise Paschoal, Ne-
ves Eduardo F. de Almeida. Formation constants
of the tetraazido cuprate (II) and triazido cuprate (I) ions-
in sodium azide solutions of ionic strength 4,0. «J. Inorg.
and Nucl. Chem.», 1972, 34, № 6, 1923—1927 (англ.)

$$(K_c)$$

Полярографически при т-ре 25° и ионной силе р-ра 4,0 изучено комплексообразование $\text{Cu}^{(2+)}$ с NaL , где $\text{L}=\text{N}_3^-$ (азид). Восстановление комплекса происходило ступенчато с образованием двух одноэлектронных обратимых волн, соотв-щих восстановлению $\text{Cu}^{(2+)}$ до $\text{Cu}^{(1+)}$ и далее до $\text{Cu}^{(0)}$. В предположении о существовании комплексов вероятного состава $[\text{Cu}(\text{L}_3)_4]^{2-}$ (I) и $[\text{Cu}(\text{L}_3)_3]^-$ (II) с использованием определенных авторами формальных потенциалов систем $\text{Cu}^{2+}/\text{Cu}^+$ и Cu^+/Cu^0 и константы диспропорционирования $\text{Cu}^{(1+)}$ вычисле-ны константы образования I и II, величина к-рых рав-на $6,5 \cdot 10^7$ и $5,8 \cdot 10^7$ соответственно. А. И. Каменев.

X. 1973 N 1

1973



Barvinok, M.S., et al.
"Zh. Neorg. Khim."
1973, 18, (2), 453- 455.

ΔH_f, ΔH_{sol}

(cu. CuCl₂ · 2N₂H₄; 1)

$[\text{Cu}(\text{CN})_2]^-$; $[\text{Cu}(\text{CN})_3]^2-$

30903.7079

$[\text{Cu}(\text{CN})_4]^{3-}$ (Кр)

1973

С1.240

XVII 1749

Исследование электролитического осаждения
меди из цианистых электролитов.
П. Константы образования цианистых
комплексов меди.

Бек Р.Ю., Жуков Б.Д., Бородыжина А.И.,
Поддубный Н.П.

"Изв. Сиб. отд. АН СССР",
1973, № 9, сер. хим., № 4, 52-56

В

936 937 946 0955 ~~так~~ реф ~~НИИОТИ~~ ВИНИТИ

30425.4937

 $\text{Cu}(\text{MeNH}_2)_n$

1973

X XVI 1293

 $\text{Cu}(\text{NH}_3)_n (\text{ICP})$

3

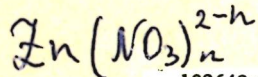
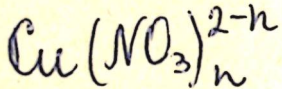
Определение ступенчатых констант нестойкости комплексов Cu (II) с некоторыми аминами. Бураченко Л.С., Володина И.О.,

Ксенжек О.С., Мотягина Г.Г.

"Вопр. химии и хим. технол. Респ. межвед. темат. науч.-техн. сб.", 1973, вып. 28,
110-112

836 841 53 В 0000 пик . винити

1973



102648v Effect of solution ionic strength on the formation of copper(II) and zinc nitrate complexes. Fedorov, V. A.; Robov, A. M.; Shmyd'ko, I. I.; Mironov, V. E. (Sib. Tekhnol. Inst., Krasnoyarsk, USSR). *Zh. Neorg. Khim.* 1973, 18(2), 342-6 (Russ). An increase in the ionic strength (μ) of the medium from 0 to 4.0 changed the stability consts. of the $\text{Cu}(\text{NO}_3)_n^{2-n}$ and $\text{Zn}(\text{NO}_3)_n^{2-n}$ and gave a min. of stability at $\mu = 1-2M$. At 25° , the stability consts. for $\text{Cu}(\text{NO}_3)_n^{2-n}$ are 3.47, 0.41, and 0.07 and for $\text{Zn}(\text{NO}_3)_n^{2-n}$ they are 2.63, 0.54, and 0.03 for $n = 1$, 2, and 3, resp.

(K_{emad})

C.A. 1973.78 n16

①

☒

40301.7253
Ph,Ch,TE

$\text{CH}_3\text{NH}_2\text{CuCl}_3$, $\text{CH}_3\text{NNiCl}_3$ (C_p)
40892

XVI 1829 [1973]

Hurley Michael Gerstein B.C.

Low temperature heat capacities of one dimensional systems: dimethylammonium trichlorocuprate (II) and tetramethylammonium trichloronickelate (II).

"J. Chem. Phys.", 1973, 59, N 12, 6667-6676

(англ.)

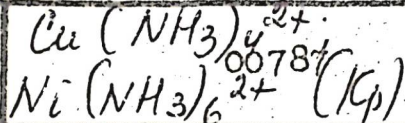
0056 5(Б)

038 042 - 0 49

505 ОРДИ

ВИНИТИ

30723.9788
СГ, X



1973

XVI 1324

Исследование аммиачных комплексов меди (П)
и никеля в сульфокатионите КУ-2.

Калинина А.А., Скороход О.Р.

"Ж. Физ. химии", 1973, № 6,
1494-1497

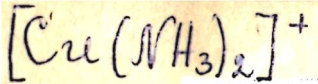
в
~~ИИЛНГСО~~
0923 ПИК

901 904

916

реф

ВИНИТИ



1973

5 В61 Д. Расчёт констант устойчивости некоторых комплексов меди. Миттер Манfred. Ermittlung von Stabilitätskonstanten einiger Komplexe des Kupfers. Diss., Dokt. Naturwiss. Fak. Math. und Naturwiss. Techn. Univ. Hannover, 1973. IX, 123S., ill. (нем.)

Потенциометрическим и спектрофотометрич. методами при 25° и ионной силе 0,5 (NH_4ClO_4) изучено комплексообразование Cu^{2+} и Cu^+ с пролиндитиокарбамидом H_2A . С помощью медно-амальгамного электрода определены Пт р-ций $\text{Cu}^{2+} + 2e = \text{Cu}^0$, $\text{Cu}^0 = \text{Cu}^+ + e$ и $\text{Cu}^0 + 2\text{NH}_3 = [\text{Cu}(\text{NH}_3)_2]^+ + e$, равные соотв. $330,8 \pm 0,7$; $-103,34 \pm 0,43$ и 516,3 мв. Показано, что спектры поглощения H_2A имеют 2 максимума 282, 257 н. минимум 272 нм с коэф. экстинкции соотв. 13 150, 14 170 и 10 750 л/моль·см, а образующиеся комплексы поглощают в области 300—246 нм. Фотометрич. методом определены константы устойчивости CuA^0 и CuA_2^{2-} , равные

 (k_c)

X. 1974 N5

соотв. 10^{16} и $2 \cdot 10^{21}$. Изучено кисл.-вост. взаимодействие Cu^{2+} и H_2A и показано, что при отношении $\text{Cu} : \text{H}_2\text{A} = 1 : 1$ образуется тр. фибринный осадок, в к-ром, согласно магнитным измерениям, присутствует Cu^+ . Потенциометрич. методом рассчитаны константы устойчивости комплексов $[\text{Cu}(\text{NH}_3)_2]^+$, CuA^- , $\text{Cu}_2\text{A}_3^{4-}$, CuA_2^{3-} , равные соотв. $2,26 \cdot 10^{10}$; $7,09 \cdot 10^{11}$, $2,15 \cdot 10^{32}$ (или $4,91 \cdot 10^{34}$), $1,81 \cdot 10^{16}$. Определено ПР плохо р-римого CuA , равное $2,81 \cdot 10^{-16}$. Н. А. Добрынина

* 4-2950

1973

Cu₃N

D 9 Б380. Электронографическое исследование нитрида меди. Тегао Nobuzo. Etude par diffraction électronique du nitrite de cuivre, Cu₃N. «C. r. Acad. sci.», 1973, 277, № 20, B595—B598 (франц.)

Обработкой газ. аммиаком тонких слоев Cu при т-ре 200—350° получен нитрид меди Cu₃N (I), электронографич. исследование к-рого (как поликрист. образцов, так и монокристаллов) показало, что он кристаллизуется в кубич. симметрии с параметром a 3,813 Å. Анализ интенсивностей дифракц. отражений подтвердил ранее сделанное на основе рентгеновского исследования предположение о принадлежности I к структурному типу ReO₃. Нарастание I на слои Cu происходит в след. эпитаксич. соотношениях: (001)_{Cu} || (001)_I, [100]_{Cu} || [100]_I. В процессе исследования не была зафиксирована др. известная тетрагон. модификация I. Приведены значения d , I и индексы hkl электронограммы порошка кубич. I.

С. В. Соболева

2.1974 № 9

Cu₃N

1973

(ΔH_f; ΔS_f)

41635f Thermodynamic properties of copper nitride. Vorob'ev, A. M.; Ivseeva, G. V.; Zenkevich, L. V. (Mosk. Gos. Univ. im. Lomonosova, Moscow, USSR). *Zh. Fiz. Khim.* 1973, 47(10), 2708-9 (Russ). Addnl. data considered in abstracting and indexing are available from a source cited in the original document. The entropy and enthalpy of Cu₃N formation at 360-440° were estd. by interpreting the temp. dependence (detd. by the Knudsen effusion method) of N pressure over the dissoci. Cu₃N. $\Delta H_{f,298}^{\circ} = -16.1 \pm 1$ kcal/mole and $\Delta S_{f,298}^{\circ} = -14 \pm 2$ entropy units. Cu₃N was synthesized from Cu₂O and NH₃ at 300°. The dissoci. of Cu₃N in a mass-spectrometer starts at 330° and 10⁻⁶ mm Hg.

L. Kuca

C.A. 1974. 80. N8

30226.2495

X VI-1114

Cu(No₃)^{2-*n*} 00757

Ti(No₃)^{2-*n*} (kp)

1974

н

О влиянии ионной силы раствора на образование нитратных комплексов меди(II) и цинка. Федоров В.А., Рбов А.М., Шмылько И.И., Миронов В.Е.

"Ж. неорган. химии", 1973, 18, № 2,
342-346

Библиотека
0220 ник

802 809 040

реф

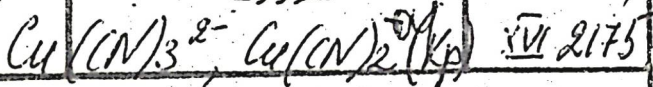
ВИНИТИ

41017.8426

29932

1970

Ch



Kappenstein Charles, Hugel Rene.

Les ions cyanocuprates(I) en milieu aquieux neutre et acide.

"J. Inorg. and Nucl. Chem.", 1974, 36, N° 8,

1821-1825

(франц., рез. англ.)

0.15 ПИК

В(Ф)

181 183

- 207

ВИНИТИ

1974

Cu(N₂H₅)₂SO₄ Wittveen H.T.

Ruedijk J.

J. Solid State Chem "1974"

10, N₂, 151-166 (amu)

(see also (N₂H₅)₂SO₄; I).

x. 1975. N₂

$(\text{NH}_4)_2\text{CuCl}_4 \cdot 2\text{H}_2\text{O}$

1975

№ 7 Б679. Изучение комбинационного рассеяния при λ -переходе в $(\text{NH}_4)_2\text{CuCl}_4 \cdot 2\text{H}_2\text{O}$. Bansal M. L., Saini V. C., Roy A. P. Raman scattering study of the λ -transition in $\text{Cu}(\text{NH}_4)_2\text{Cl}_4\text{H}_2\text{O}$. «Proc. Nucl. Phys. and Solid State Phys. Symp., Calcutta, 1975. Vol. 18C», 335—337 (англ.)

При T -рах 300, 240 и 100° К на длине волны аргонового лазера (4880 Å) исследованы поляризац. спектры КР различной геометрии монокристаллов $(\text{NH}_4)_2\text{CuCl}_4 \cdot 2\text{H}_2\text{O}$, обладающих фазовым переходом λ -типа при 200° К. Обнаружено, что частоты колебаний, изменяющиеся в процессе перехода порядок — беспорядок, лежат в области $150—200 \text{ см}^{-1}$ и около 70 см^{-1} . Полученные результаты проанализированы с точки зрения частот колебаний отдельных молек. связей и сведены в таблицу. При сопоставлении с данными КР по изоструктурному соединению $\text{K}_2\text{CuCl}_4 \cdot 2\text{H}_2\text{O}$ показано, что колебания первой области связаны с NH_4^+ , а аномальное поведение моды 74 см^{-1} вызвано изменением дальнего порядка в упорядоченной тетрагон. фазе.

Г. Л. Апариков

Х-НЧ 1978

Cu(N₂H₅)₂(SO₄)₂

1 E397. Удельная теплоемкость сульфатов гидразина с переходными металлами, обладающих структурой линейных цепочек. Klaaijsen F. W., Den Adel H., Dokoupil Z., Huiskamp W. J. Specific heat of hydrazinium-transition metal-sulfate linear chain compounds. «Physica», 1975, BC79, № 2, 113—147 (англ.)

В области т-р 1,3—80° К изучена теплоемкость ряда изоморфных, кристаллизующихся в триклинной решетке, соединений M(II)(N₂H₅)₂(SO₄)₂, где M(II) — Cu, Ni, Co, Fe, Mn. При низких т-рах обнаружены широкие максимумы теплоемкости, связанные с антиферромагн. упорядочением в спиновых цепочках, а в соединениях Co, Fe, Mn — также λ-точки, связанные с объемными магн. переходами. Полученные после учета решеточного вклада данные о температурной зависимости магн. теплоемкости использованы для оценки анизотропии межцепочечного взаимодействия, а также одноионной анизотропии. Результаты интерпретируются в рамках представлений об изинговских и гейзенберговских антиферромагн. цепочках. Высказано предположение о существовании в исследованных соединениях сильного косвенного обменного взаимодействия через диамагн. ионы O—S—O.

Л. А. Боярский

φ 1976 N 1

(+4)

18



1926

Arend H., et al.

(phys.
neprocesen)

Ferroelectrics, 1926, 13,
N 1-4, 537-9.

I



Ce NO₃

1976

Чукческ. Т. в. в гг:-

III, 2989. XLI, 1976, 50,
NII, 2989-90.

(414, 468)



(ac. Ce NO₃)T

$\text{Cu}(\text{NH}_4)_2\text{Br}_4 \cdot 2\text{H}_2\text{O}$

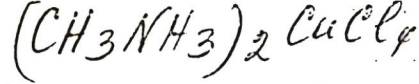
1976

85: 11572-4m Effect of pressure on phase transitions in the Heisenberg ferromagnets $\text{CuK}_2\text{Cl}_4 \cdot 2\text{H}_2\text{O}$ and $\text{Cu}(\text{NH}_4)_2\text{Br}_4 \cdot 2\text{H}_2\text{O}$. Galkin, A. A.; D'yakonov, V. P.; Tsintsadze, G. A.; Fita, I. M. (Donetsk. Fiz.-Tekh. Inst., Donetsk, USSR). *Fiz. Tverd. Tela (Leningrad)* 1976, 18(6), 1596-602 (Russ). The effect was studied of hydrostatic pressure $P \leq 12$ kbars at $0.45-4.2^\circ\text{K}$ on the phase transition temp. of 2 isomorph ic salts of divalent Cu: $\text{CuK}_2\text{Cl}_4 \cdot 2\text{H}_2\text{O}$ (curie point, $T_c = 0.88^\circ\text{K}$) and $\text{Cu}(\text{NH}_4)_2\text{Br}_4 \cdot 2\text{H}_2\text{O}$ ($T_c = 1.74^\circ\text{K}$). During isotropic compression the magnetic susceptibility of the 1st compd. decreases and that of the 2nd compd. increases. An increase was obsd. of anisotropy of the 2nd compd. under pressure. The temp. of the phase transition of the 2nd compd. increases linearly with pressure with $\Delta T_c / \Delta p = +0.33$ deg/kbar. For the 1st compd. a reverse variation was obsd., $\Delta T_c / \Delta p = -0.014$ deg./kbar. Variation of the indirect exchange interaction consts. during isotropic compression, is considered in terms of the Heisenberg model of 3-dimensional ferromagnets.

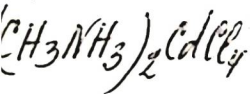
A. Libackyj

C. A. 1976, 85, n° 16.

(CIA - $\text{Cu} \cdot \text{Cu}(\text{NH}_4)_2\text{Br}_4 \cdot 2\text{H}_2\text{O}$)



1986



26: 99218n Far-infrared investigation of the structural phase transitions of some two-dimensional layer compounds
Holvast, J.; Stoelinga, J. H. M.; Wyder, P. (Phys. Lab., Univ. Nijmegen, Nijmegen, Neth.). *Ferroelectrics* 1976, 12(1-4), 543-4 (Eng). The IR reflectivity spectra of (MeNH₃)₂CuCl₄ (I) at 10-200 cm⁻¹ and 20-200 K give a transition temp. of ~120 K for the partially square-square structural change. The variation of the reciprocal of the normalized damping const. with reciprocal temp. gives crit. temps. (T_c) of ~180 and ~160 K for I and (MeNH₃)₂CdCl₄. The strong increase of the damping modes with temp. is due to interaction with an IR inactive soft mode of the 2-dimensional layer. In accordance with 1st-order transition behavior, T_c lies above the structural phase transition temp.

(Tr)

⑦

N

C.A. 1987. 86. 19

$\text{Cu(OH)}_{1,5}(\text{NO}_3)_{0,5}$ (Kc, np) XVI-3451 1976

Ilcheva L., Bjerrum J.

Acta chem. scand., 1976, ~~230~~, N5, 343-350



B

$\text{CuCl}_2 \cdot 2\text{NH}_4\text{Cl}$

1976

Reggiani Jean C.

Bernard Jean.

C. R. Hebdomadaire des Séances

Académie des Sciences de l'URSS Série C

1976, 282(5) 257-60

(Fr)



(an $\text{CuCl}_2 \cdot 2\text{KCl}$;
T)

CuCl·2NH₄Cl

1976

Reggiani J.-C., et al.

C.R. Acad. Sci. 1976, C282,
N°23, 1049-51.

(ΔH_f)



(act. CuCl·2PbCl; I)

70425.7373
Ch, Mt

$\text{Cu}(\text{NH}_3)_4\text{SO}_4$
 $\downarrow 1585$
 $(\Delta 6) \text{K}_e$

XVI-3784

C.C.O.

Reilly I.G., Scott D.S.

1976

The hydrolysis of cupric amines.

"Met.Trans.", 1976, B7, N 4, 718-720

(англ.)

B, ell

0861

ГИК
СССР
оригинал

820 832

ВИНИТИ

ферромагнетик

60429.4263

7623

1976

Me1, Ph, TC, MGU

$Cu(NH_4)_2Br_4$ T_c

XУ-12770

Vélu_E., Lécuyer B., Renard J.-P.

Comportement critique de deux ferromagnétiques faiblement anisotropes mis en évidence du cross-over dû à l'anisotropie. "J.phys."(France), 1976, 37, N 1, suppl., 219-223 (франц., рез.англ.)

584 588 591 0606 ник

ВИНИТИ

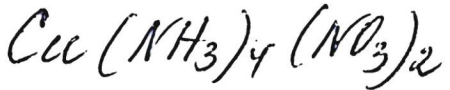


1977

86: 132325v Evidence for exchange-coupled quadratic nets in CTS. Duffy, W., Jr.; Weinhaus, F. M.; Strandburg, D. L. (Dep. Phys., Univ. Santa Clara, Santa Clara, Calif.), *Phys. Lett. A* 1977, 59A(6), 491-3 (Eng). The low-temp. heat capacity and magnetic susceptibility of $\text{Cu}(\text{NH}_3)_4 \text{SO}_4 \cdot \text{H}_2\text{O}$ (CTS) were measured. The heat capacity data was fitted into an equation used to derive the nearest-neighbor Heisenberg exchange interaction parameters using the high temp. series (CHTS) expansions. The susceptibilities were fitted into HTS susceptibility calcns. for linear chain, quadratic nets, and triangular nets. The results were consistent with the quadratic net of Heisenberg exchange-coupled spins with $s = 1/2$.

(CP)

C.A. 1977 86 N18



1977

- 87: 176686p Magnetic investigation of copper(II) tetraammine nitrate. Bhatia, S. N.; O'Connor, C. J.; Carlin, R. L.; Algra, H. A.; De Jongh, L. J. (Dep. Chem., Univ. Illinois, Chicago, Ill.). *Chem. Phys. Lett.* 1977, 50(3), 353-7 (Eng). The magnetic properties of Cu(NH₃)₄(NO₃)₂ were measured at low temps. Broad max. in both the susceptibility and specific heat are obsd. and are consistent with linear-chain behavior of a Heisenberg antiferromagnet, with $J/k = -3.9 \pm 0.1$ K. Long-range order sets in at $T_c = 0.15 \pm 0.01$ K, and the ratio $kT_c/|J| = 0.038$ is the lowest obsd. as yet for a 2-dimensional, $S = 1/2$ antiferromagnet.

Tet

C. J. 1977. 87 v2d

$\text{Cu}(\text{NH}_3)_2\text{SO}_4$

1976

-) 17 B34. Гидролиз аминов двухвалентной меди.
Reilly I. G., Scott D. S. The hydrolysis of cupric amines. «Met. Trans.», 1976, B7, № 4, 718—720 (англ.)

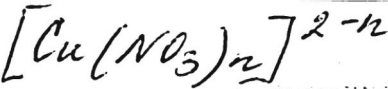
Равновесие процесса окисл-т. выщелачивания CuS (I), проводившегося в 3,5 М водн. р-ре NH_3 при т-ре 128° устанавливается в течение трех часов. При этом $\sim 80\%$ Cu переходит в р-р в виде $\text{Cu}(\text{NH}_3)_4\text{SO}_4$ (II), а S полностью окисляется до SO_4^{2-} . pH исходной и равновесной смеси при 25° составлял 12,2 и 11,8 соотв. Рентгенографически доказано, что пер-римый остаток представляет собой CuO (параметры решетки: $a: 2,3$, $b: 1,88$, $c: 2,51\text{\AA}$). Образование CuO подавляется при

46, Ке

х, 1972, № 17

добавлении солей NH_4^+ . Сделан вывод о том, что CuO является продуктом гидролиза II , описываемого уравнением $\text{II} + \text{H}_2\text{O} = \text{CuO} + 2\text{NH}_4^+ + 2\text{NH}_3$ (водн.). Свободная энергия этой р-ции $\Delta F^\circ_{25} = 1190$ кал/моль, константа равновесия $K = K_c \cdot K_t$, где $K_c = 5,473 \cdot 10^{-3}$, K_t — величина порядка 10. Степень гидролиза мало зависит от конц-ии Cu и определяется конц-ией $\text{NH}_3(C)$, причем существует предельное значение C , выше к-рого гидролиз не наблюдается.

М. З. Бранзбург



1977

) 17 В17. Изучение комплексов двухвалентной меди с азид-ионом методами спектрофотометрии и потенциометрии. Neves E. A., Oliveira E. Spectrophotometric and potentiometric studies of copper(II)-azide complexes. «Proc. 18 Int. Conf. Coordinat. Chem., São Paulo, 1977.» São Paulo, 1977, 240 (англ.).

Спектрофотометрическим методом изучено комплексообразование в системе $\text{Cu}^{2+}-\text{N}_3^--\text{H}_2\text{O}$ при ионной силе 4,0. Установлено, что в данной системе образуются комплексы $[\text{Cu}(\text{NO}_3)_n]^{2-n}$ (I) ($n=1-4$). Выполнено потенциометрич. тт данной системы. При использовании данных спектрофотометрич. и потенциометрич. методов определены константы устойчивости (β_n) для I.

Н. П. Кузьмина

Х, 1978, N14

$\text{Cu}(\text{NH}_3)_4\text{SO}_4 \cdot \text{H}_2\text{O}$

1977

(Treel)

87: 61739r Anomalous decrease in the Kapitza resistance between liquid helium-3 and copper tetraammine sulfate monohydrate at the magnetic phase transition. Saito, Shinhachiro (Res. Inst. Iron, Steel Other Met., Tohoku Univ., Sendai, Japan). *Phys. Rev. Lett.* 1977, 39(1), 34-7 (Eng). An anomalous steep decrease in the Kapitza resistance between liq. ${}^3\text{He}$ and a single crystal of $\text{Cu}(\text{NH}_3)_4\text{SO}_4 \cdot \text{H}_2\text{O}$ was obstd. for the 1st time just below its magnetic-phase-transition temp., $T_N = 0.43$ K. The decrease can be enhanced by the application of a magnetic field. These phenomena occur because of the strong coupling between ${}^3\text{He}$ spins and electron spins of the magnetic salt, as detected in the previous NMR measurement.

C.A. 1977, 87 w 8

CuN_x

1977

87: 110221b The transport and thermodynamic properties of a copper-nitrogen mixture. Shayler, P. J.; Fang, M. T. C. (Dep. Electr. Eng. Electron., Univ. Liverpool, Liverpool, Engl.). *J. Phys. D* 1977, 10(12), 1659-69 (Eng). The transport and thermodn. properties of a Cu-N mixt. are calcd. for temps. between 2000 and 28,000 K and pressures between 1 and 10 atms. Compared with the elec. cond. for pure N, a small concn. of Cu vapor can greatly enhance the elec. cond. at temps. below about 8000 K. The internal energy and enthalpy per unit mass are reduced by 1/2 and 2/3 when X is increased from 0 to 1, where X is the ratio of the total no. d. for all Cu species to that for all N species. Changes in the electron thermal cond. increase the total thermal cond. by about $(1 + X)$ when $X < 0.1$, for temps. between 9000 and 12,000 K. The increased value is near to the upper limit for the total thermal cond. of the mixt. if, as tentative ests. indicate, the Cu^+ diffusion cond. component is relatively small.

*mfccdg
cb-6a*

C. A. 1977. 87 n 14

$\text{Cu}(\text{NH}_3)_2\text{Br}_2$

1978

88: 202042t Magnetic study of α - and β -diamminecopper(II) chlorides and bromides. Asai, Takeshi; Saheki, Hiroshi; Hori, Kayako; Kiriya, Ryoiti (Inst. Sci. Ind. Res., Osaka Univ., Suita, Japan). *Bull. Chem. Soc. Jpn.* 1978; 51(4), 974-7 (Eng). The magnetic susceptibilities, χ , of α - and β - $\text{Cu}(\text{NH}_3)_2\text{X}_2$ ($\text{X} = \text{Cl}, \text{Br}$) were measured from 4.2 to 360 K. Those of β - $\text{Cu}(\text{NH}_3)_2\text{X}_2$ obeyed the Curie-Weiss law above 50 K. The Weiss consts. and effective μ_B nos. are $-3.5(\pm 1)$ K and $1.75(\pm 0.01)$ for $\text{X} = \text{Cl}$, and -9.7 K and 1.82 for $\text{X} = \text{Br}$. α - $\text{Cu}(\text{NH}_3)_2\text{Cl}_2$ showed a rounded max. for γ at 30 K. A linear Heisenberg model with the parameters, $J = -23.5 (\pm 1)$ K and $g = 2.03(\pm 0.03)$, gave good agreement with observations. α - $\text{Cu}(\text{NH}_3)_2\text{Br}_2$ had a peak for χ at $47(\pm 2)$ K. This temp. is probably a Neel temp. The strong magnetic interaction of the α -form compds. is related to the compressed coordination octahedron of $[\text{Cu}(\text{NH}_3)_2\text{X}_4]^{2-}$. All samples used were solid solns. of $\text{Cu}-(\text{NH}_3)_2\text{X}_2$ and NH_4X . An anal. of χ suggests that the Cu^{2+} cations in α - $\text{Cu}(\text{NH}_3)_2\text{Cl}_2$ are distributed inhomogeneously over a short range. A similar inhomogeneity was also found for the β - $\text{Cu}(\text{NH}_3)_2\text{X}_2$ samples. In this sense, the β -form may be better described as a solid soln. of α - $\text{Cu}(\text{NH}_3)_2\text{X}_2$ and NH_4X rather than as a dimorph.

T Neel.

C.A. 1978, 88, 1126

Cu₂(OH)₃NO₃

1943

Бб79. Энталпия образования и схема термического разложения гидроксонитрата меди Cu₂(OH)₃NO₃. Auffrédie Jean-Paul, Léger Daniel, Louët Michèle Enthalpie de formation et schéma de la décomposition thermique de l'hydroxynitrate de cuivre Cu₂(OH)₃NO₃. «Journ. calorim. et anal. therm.», Torino, 1978. Vol. 9/1.» Торино, 1978, B13/97/B13/107 (франц.)

ΔHf

В микрокалориметре при 25° измерены теплоты сгорания в 2 н. водн. р-ре HNO₃ CuO (I) и Cu₂(OH)₃NO₃ (II). На основе полученных и справочных данных най-

X. 1949 №

дена величина ΔH° (обр., II), равная $-200,636$ ккал/моль. Методами ТГА и дифференциального калориметрич. анализа изучено разложения II в токе N_2 и в вакууме. Среднее значение ΔH разложения найдено равным $41\,200 \pm 250$ кал/моль, т-рный интервал разложения $160-210^\circ$. Рассчитанное с помощью ΔH (обр.) значение ΔH разложения согласуется с эксперим. величиной, если принять след. схема разложения: II (крист.) \rightarrow I (крист.) + HNO_3 (газ.) + H_2O (газ.). По лит. структурным данным представлена схема топографич. перехода от крист. II к крист. I при разложении II.

Ж. Г. Василенко

$[\text{Cu}(\text{NH}_3)_6](\text{NO}_3)_3$ Ommuck 15399 1978

Balt S., Kieviet W.,
Kci; Z. Solut. Chem. 1978,
Z, N12, 915-930.

$CuNO_2$

1978

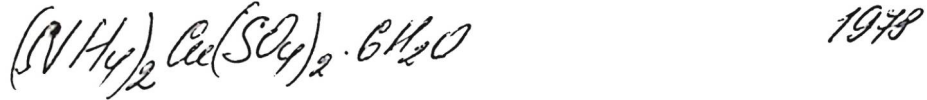
Farber Milton et al.

unac-
-creep
metastable.
decelerat

Combust. Flame 1978,
31(3), 309-23 (Eng)



cat. $PbNO_2$ - $\frac{T}{\text{---}}$



1978

mesquite,
mesquita
mesquites

Nagase L, et al

Thermochim acta, 1978,
23, N2, 283-291



coll. Cu SO₄ · 5H₂O - T

1978

*Cu(NH₃)₄.
·SO₄.H₂O*

(Tweel)

90: 64075u Anomalous thermal behavior and nuclear spin relaxation of liquid helium-3 in contact with linear-chain- ∞ antiferromagnets. Saito, S.; Hamaya, M.; Sato, K.; Sato, T.; Nishina, Y.; Sugawara, T. (Res. Inst. Iron, Steel Other Met., Tohoku Univ., Sendai, Japan). *J. Phys., Colloq. (Orsay, Fr.)* 1978, (6), Vol. 11, 269-70 (Eng). On slow heating of a system

comprised of a single crystal of 4-hydroxy-2,2,6,6-tetramethyl- ∞ 1-piperdinyloxy (magnetic transition temp. $T_N = 0.49 \pm 0.01$ K) immersed in liq. ^3He , a sharp increase and then an immediate sharp decrease to the original value of the nuclear spin-lattice relaxation time of liq. ^3He at a liq. temp. of $T_l \approx 0.45$ K (corresponding to a crystal temp. of $T_c \approx 0.48$ K) occurred that was accompanied simultaneously by sharp decreases and then increases in T_l and T_c . On slow heating of a single crystal of $\text{Cu}(\text{NH}_3)_4\text{SO}_4\cdot\text{H}_2\text{O}$ ($T_N = 0.43 \pm 0.01$ K) immersed in liq. ^3He , the NMR spin-echo signal of liq. ^3He sharply increased and then decreased to the original value at $T_c \approx 0.44$ K; this anomaly was accompanied by a sharp decrease in T_c and anomalous changes in T_l . Possible mechanisms for explaining the obsd. anomalies are discussed, which involve magnetic coupling between the liq. and the crystal.

C.A. 1979, 90, 18

$\text{CuX}_2 \cdot m\text{NH}_3$ Wentworth w.s. at ¹⁹⁷⁸ ~~el~~

Inorg. chim. acta, 1978, 30,
n^o 1, 299-301.

AS, AH



(ces. $\text{MnX}_2 \cdot m\text{NH}_3$)

Сu₂(OH)₃NO₃ | *оттиск 15164 1979*

5 Б735. Топотактическое термическое разложение гидроксонитрата меди Cu₂(OH)₃NO₃: термодинамическое и структурное изучение. Autogredic J. P., Louëg D., Louëg M. Décomposition thermique topotactique de l'hydroxynitrate de cuivre Cu₂(OH)₃NO₃: étude thermodynamique et structurale. «J. Therm. Anal.», 1979, 16, № 2, 329—340 (франц.; рез. англ., нем., рус.)

ΔHrx.
Из измерений энталпий превращения CuO и Cu₂(OH)₃NO₃ (I) в смесях HNO₃ и H₂O различных конц-ий определена энталпия образования I, составившая —864 560 дж/моль. Термогравиметрич. и калориметрич. методами изучено разложение I. Величина ΔH разложения крист. I равна 172 350±1050 дж/моль. Сделан вывод о выделении в процессе разложения газ. HNO₃ и газ. H₂O. Из рентгенографич. изучения монокристаллов CuO и I предложено структурное описание процесса разложения I с переходом в CuO.

Ж. Г. Василенко

Х1980.15

1979

19 Б705. Магнитные свойства гейзенберговского ферромагнетика $\text{Cu}(\text{NH}_4)_2\text{Br}_4 \cdot 2\text{H}_2\text{O}$ в магнитном поле. Дьяконов В. П. «Физ. тверд. тела», 1979, 21, № 5, 1404—1410.

Одноосный ферромагнетик $\text{Cu}(\text{NH}_4)_2\text{Br}_4 \cdot 2\text{H}_2\text{O}$ ($T_c = 1,74^\circ\text{K}$ при $P=0$; $dT_c/dP > 0$) является удобным объектом для исследования крит. поведения и процессов намагничивания во внешнем магнитном поле. В исследуемом магнитодиэлектрике присутствие слабой анизотропной части обменного взаимодействия позволяет изучить влияние магнитного поля на фазовый переход, так как анизотропное взаимодействие приводит к полевой зависимости т. крит. Измерения проведены на монокрист. образцах цилиндрич. формы в полях $H < 500$ эрстед в интервале $2,2 > T > 0,4^\circ\text{K}$ при давл. до 10 кбар, используя дифференциальный магнитометр. В магнитном поле на кривой восприимчивости наблюдаются сингулярности в виде отчетливого максимума χ при температуре $T_h > T_c$ и размытого максимума при $T_h < T_c$. С ростом поля т-ра T_h увеличивается, а $T_h -$

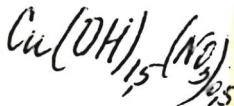
Fe

2.1979, N19

уменьшается. Сдвиг сингулярности восприимчивости в магнитном поле аппроксимируется степенными функциями $t = T_h - T_c \sim H^\rho$ (поле $H \parallel C_4$), $t = T_h - T_c \sim (H - H_a)^\rho$ (поле $H \perp C_4$) и $\tau = (T_c - T_H)/T_c \sim H^\omega$ с индексами $\rho = -0,58$ и $\omega = 2,5$. Получено значение поля анизотропии при т-ре упорядочения $H_a = 40$ эрстед. При понижении т-ры с ростом давл. поле анизотропии увеличивается. Показано, что при т-ре T_h достигается парамагнитное насыщение в магнитном поле, а при т-ре T_H магнитная система переходит из однороднонамагниченного в неоднороднонамагниченное состояние, в к-ром вектор намагниченности не совпадает с направлением поля. Наблюдаемая в плоскости $T - H$ фазовая граница характеризует фазовый переход 2-го рода. Всестороннее сжатие кристалла смешает фазовую границу в область сильных магнитных полей. Не обнаружена зависимость крит. индексов ω и ρ от давления. Полученные результаты согласуются с теориями фазовых переходов в магнитном поле.

Резюме

1979



6 Б773. Термическое исследование основного нитрата меди (II)— $\text{Cu}(\text{OH})_{1,5}(\text{NO}_3)_{0,5}$. Ilcheva L., Mapeva M., Bozadziev P. Thermal investigation of the basic copper(II) nitrate $\text{Cu}(\text{OH})_{1,5}(\text{NO}_3)_{0,5}$. «J. Therm. Anal.», 1979, 16, № 1, 205—207 (англ.)

Методом ТГА, ДТА и ДТГ исследована термич. устойчивость $\text{Cu}(\text{OH})_{1,5}(\text{NO}_3)_{0,5}$ (в природе — герхардтит) и оценена теплота разл. его при различных скоростях нагревания. Показано, что при скоростях нагревания в области 4—20°/мин процесс разл. происходит в равновесных условиях и теплота разл. равна $(21,6 \pm 0,1)$ ккал/моль.

Н. С. Радионова

межд. ученик.

ОМК. МИНИСТЕРСТВО ОБРАЗОВАНИЯ РСФСР
1979/1980

2.1980.№6

$\text{Cu}(\text{OH})_{1.5}(\text{NO}_3)_{0.5}$

0,5

(TГЧ)

12 Б819. Термоаналитическое исследование основного нитрата меди $\text{Cu}(\text{OH})_{1.5}(\text{NO}_3)_{0.5}$. Илчева Л., Манева М., Бозаджиев П. Термоаналитично изследване на основен меден нитрат $\text{Cu}(\text{OH})_{1.5}(\text{NO}_3)_{0.5}$. «Химия и индустрия» (НРБ), 1979, 51, № 1, 20—21 (болг.)

Проведено термоаналитич. (ДТА и ТГА) исследование основного нитрата меди $\text{Cu}(\text{OH})_{1.5}(\text{NO}_3)_{0.5}$ (I), известного как минерал герхардит. I разлагается по р-ции: $3\text{Cu}(\text{OH})_2\text{Cu}(\text{NO}_3)_2 = \text{CuO} + 3\text{H}_2\text{O} + 2\text{NO}_2 + 1/2 \text{O}_2$. ΔH р-ции составляет 21,6 ккал.

1949

2.1949 № 12

1979

С.И.Ч.М.и.
2 Б846. Исследование термохимических свойств

комплексных солей нитратов аммиакатов переходных металлов. Конькова Т. С., Матюшин Ю. Н., Кизин А. Н., Лебедев Ю. А. «8-я Всес. конф. по калориметрии и хим. термодинам., Иваново, 1979. Тез. докл. I-HOP». Иваново, 1979, 53

С помощью реакц. калориметра измерены энталпии р-ций разложения нитратов аммиакатов Cu и Ni, равные $24,69 \pm 0,03$ и $27,67 \pm 0,03$ ккал/моль, соотв. ($1 \text{ кал} = 4,1840 \text{ дж}$). Из этих данных рассчитаны энталпии образования нитратов аммиакатов Cu и Ni, равные $-194,25 \pm 0,37$ и $-255,22 \pm 0,49$ ккал/моль, соотв. С использованием лит. значения энталпии образования нитрата аммиаката кобальта ($-306,4$ ккал/моль) и экспериментально полученной энталпии р-рения этой соли в воде ($17,36 \pm 0,02$ ккал/моль) рассчитана энталпия образования катиона аммиаката кобальта в бесконечно разбавленном водн. р-ре, составляющая $-140,33 \pm 0,36$ ккал/моль. Полученные данные сопоставлены с термохим. св-вами др. исследованных комплексных солей того же ряда.

Резюме

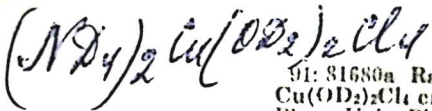
Д.Н.Г. крао.

(+)

Б

2.1980.12

4949



(Ter)

91: 81680a Raman spectra and phase transition of $(ND_4)_2Cu(OD_2)_2Cl_4$ crystals. Poulet, H.; Mathieu, J. P. (Dep. Rech. Phys., Univ. Pierre et Marie Curie, 75005 Paris, Fr.). *J. Raman Spectrosc.* 1979, 8(3), 165-8 (Fr). Changes in the Raman spectra of single crystals of $(ND_4)_2Cu(OD_2)_2Cl_4$ with temp. are indicative of an order-disorder transition. A space group deduced for the low temp. phase from a pseudo-spin model is in agreement with the spectral results.

C.H.10400110

$(\text{NH}_4)_2\text{CuCl}_4 \cdot 2\text{H}_2\text{O}$

1979

20 Б642. Изучение $(\text{NH}_4)_2\text{CuCl}_4 \cdot 2\text{H}_2\text{O}$ методом спектроскопии комбинационного рассеяния. П. Переход по порядок—беспорядок. Roy A. P., Sahn V. C., Bansal M. L. Raman study of $(\text{NH}_4)_2\text{CuCl}_4 \cdot 2\text{H}_2\text{O}$. II. Order-disorder transition. «J. Phys. and Chem. Solids», 1979, 40, № 4, 289—292 (англ.)

$(\overline{\text{H}}\text{x})$

Прослежены т-рные изменения в интервале т-р 90—300° К в низкочастотных спектрах КР ($140—220 \text{ см}^{-1}$) ориентированных монокристаллов $(\text{NH}_4)_2\text{CuCl}_4 \cdot 2\text{H}_2\text{O}$ (I) (D_{4h}^{14} при комн. т-ре, D_{2d}^3 при низкой т-ре). Характерной особенностью в спектрах является сильное возрастание относит. интегральных интенсивностей полос 204 см^{-1} (B_{1g}^1), 160 (A_{1g}^1) и 190 (B_{2g}^1) трансляц. модиона аммония при понижении т-ры. Показано, что на основании т-рных изменений интенсивностей этих полос можно судить о т-рной зависимости параметра порядка m ($0—1$), представляющего собой разность между долями ионов NH_4^+ в двух возможных ориентациях. Кри-

20.10.1979 № 20

вая зависимость m от приведенной т-ры для I значительно более пологая, чем аналогичная кривая для взятого в кач-ве сравнения NH_4Cl , что объясняется слабым взаимодействием между ионами NH_4^+ вдоль оси c в I, к-рый может рассматриваться как квазиодномерный кристалл в отличие от трехмерного кристалла NH_4Cl . Т-ра перехода порядок—беспорядок в I находится в области 200°K . Часть I см. J. Phys. Chem. Solids, 1979, 40, 109.

Б. В. Рассадин



1979

SI: 166526e Raman study of diammonium tetrachloro-cuprate(2-) dihydrate. II. Order-disorder transition. Roy, A. P.; Sahni, V. C.; Bansal, M. L. (Solid State Phys. Sect., Bhabha At. Res. Cent., Bombay, India). *J. Phys. Chem. Solids* 1979, 40(4), 289-92 (Eng). The order-disorder phase transition in $(\text{NH}_4)_2\text{CuCl}_4 \cdot 2\text{H}_2\text{O}$ was studied using Raman scattering. The temp. dependence of the long range order parameter (m), defined as the difference between the 2 possible orientations, was detd. from the intensity variations of certain modes at 100-300 K. The effect of the quasi-1-dimensional nature of the NH_4^+ network on the evolution of m was considered.

(Tr)

GA.1979.21.N20

1980

$(\text{NH}_4)_2\text{CuCl}_4 \cdot 2\text{H}_2\text{O}$, 11 Б558. Неупорядоченность ионов аммония в дигидрате тетрахлорокупрата диаммония, $(\text{NH}_4)_2\text{CuCl}_4 \cdot 2\text{H}_2\text{O}$: высокопрецизионное нейтронографическое изучение. Bhakay-Tamhane S. N., Sequeira A., Chidambaram R. Disorder of ammonium ions in diammonium tetrachlorocuprate dihydrate, $(\text{NH}_4)_2\text{CuCl}_4 \cdot 2\text{H}_2\text{O}$: a high-precision neutron diffraction study. «Acta crystallogr.», 1980, V36, № 12, 2925—2929 (англ.)

С целью однозначного решения вопроса о поведении атомов Н, принадлежащих ионам NH_4^+ и молекулам H_2O , в крист. $(\text{NH}_4)_2\text{CuCl}_4 \cdot 2\text{H}_2\text{O}$ (I), проведено высокопрецизионное нейтронографич. (дифрактометр, 484 отражения при $\sin\theta/\lambda \leq 0,56\text{\AA}^{-1}$, учет поглощения, перв. и втор. экстинкции, $\lambda = 1,0358\text{\AA}$, МНК в анизотропном приближении, $R = 0,0234$) уточнение структуры I. Кристаллы тетрагон., $a = 7,596$, $c = 7,976\text{\AA}$, ρ (изм.) 2,09, ρ (выч.) 2,00, $Z = 2$, ф. гр. $P4_2/mnm$. Уточнялись раз-

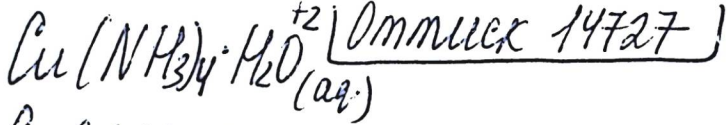
Кристина.

Структур.

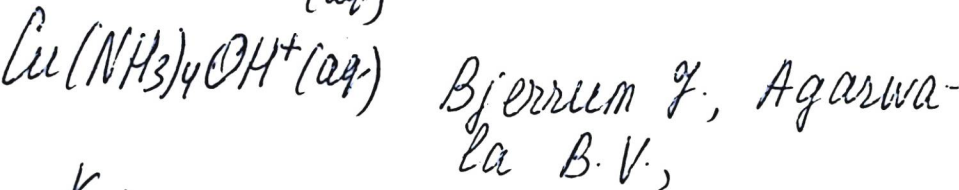
Р. 1981. № 11

личные модели структуры с упорядоченным и разупорядоченным размещением ионов NH_4^+ . Установлено, что ионы NH_4^+ ориентационно разупорядочены по 2 позициям с коэф. заполняемости 0,64 и 0,36. В обеих ориентациях в структуре образуются Н-связи типа N—H...Cl (N...Cl 3,357 и 3,370 Å, углов N—H...Cl 175,1 и 178,6° соотв. для 1-й и 2-й ориентации). Беспорядок в размещении атомов H, принадлежащих молекулам воды, не установлен. Последние имеют тригон. координацию и образуют 2 эквивалентные Н-связи типа O—H...Cl (H...Cl 2,186, O...Cl 3,146 Å). Атом Cu имеет координацию тетрагонально вытянутого октаэдра (Cu—O 1,954, Cu—Cl 2,271 и 2,971 Å). Результаты эксперимента составлены с соотв-щими данными, полученными ранее, а также с результатами энергетич. расчетов системы Н-связей в кристалле.

И. Д. Датт



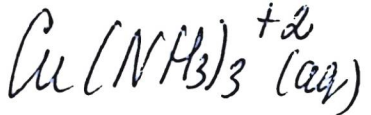
1980



Bjerrum F., Agarwala
B. V.,

Kp;

Acta Chem. Scand.,
1980, A34, 475-481.



Omnick 14727

1980

Bjerrum J., Agarwala
B.V.,

Kp;

Heta Chem. Scand.,
1980, A34, 475-481.

$[\text{Cu}(\text{NH}_3)_5] \cdot (\text{ClO}_4)_2$ 1980

11 E648. Сжимаемость и тепловое расширение как дополнительная информация при радиоспектроскопическом исследовании фазовых переходов. Compressibility and thermal expansion as supplementary data for radiospectroscopic studies of phase transitions. Krupski M., Malinowski W. «UAM Poznaniu. Ser. fiz.», 1980, N40: RAMIS-79: Radio and Microwave Spectrosc. Proc. 8th Conf., 1979, 349—350 (англ.)

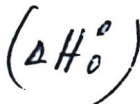
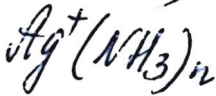
Ter;

Дилатометрические измерения показали отсутствие структурного фазового перехода в $[\text{Cu}(\text{NH}_3)_4] \cdot (\text{ClO}_4)_2$ при $T=140$ К и существование фазового перехода в $[\text{Cu}(\text{NH}_3)_5] \cdot (\text{ClO}_4)_2$. Проведены также измерения сжимаемости монокристаллов TGS при давлениях до 300 МПа. Показано, что главные оси тензора сжимаемости с точностью до 4° совпадают с осями a , b и c кристалла.

Е. С. Алексеев

Ф. 1982, 18, № 11.

1980



5 Б149. Получение газофазных комплексов Cu^+ и Ag^+ с помощью источников термоионной эмиссии.
 Loew Gilda H., Hermann Zelek S. Gas-phase complexes of Cu^+ and Ag^+ via thermionic emission sources.
 «J. Amer. Chem. Soc.», 1980, 102, № 19, 6174—6175
 (англ.)

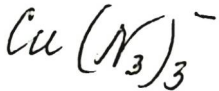
Методом термоионной эмиссии в источнике высокого давл. получены заряженные кластеры типа $M^+ (\text{NH}_3)_n$ ($M = \text{Cu}, \text{Ag}; n = 2—5$). В кач-ве эммиттеров использовались хорошо прокаленные (для удаления щел. металлов) нити из Cu и Ag соотв. При давл. в источнике 7 мм измерены зависимости равновесных конц-ий кластеров различного состава от т-ры. Из этих зависимостей получены значения энталпий для процессов $M^+ (\text{NH}_3)_n + \text{NH}_3 \rightleftharpoons M^+ (\text{NH}_3)_{n+1}$. Для Cu $\Delta H_0^\circ = 14,0; 12,8$ и 12,8 ккал/моль, а для Ag $\Delta H_0^\circ = 14,6; 13,0$ и 12,8 ккал/моль соотв. для $n = 2—4$.

Е. Николаев

(f1)

x. 1981.115

1980



(Kc)

X. 1981 № 2

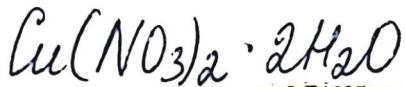
9) 2 В33. Спектрофотометрическое изучение равновесий в водных растворах азида двухвалентной меди. Neves Eduardo Almeida, Oliveira Elisabeth De, Santos Zacheu Luis. Spectrophotometric study of the equilibria in aqueous copper(II) azide solutions. «Talanta», 1980, 27, № 7, 609—612 (англ.)

Спектрофотометрическим методом, при 4 длинах волн изучена р-ция $\text{Cu}(2+)$ с N_3^- при 25° и ионной силе 4,0 М (NaClO_4). Показано, что широкая полоса поглощения (типичная для переноса заряда) системы $\text{Cu}-\text{N}_3^-$ наблюдается при 350—450 нм. Средн. мол. коэф. погашения равен $7 \cdot 10^3$ при конц-ии $\text{N}_3^- > 0,5$ М. Максимумы ОП комплексов Cu с N_3^- находятся в интервале от 375 (CuN_3^+) до 417 нм [$\text{Cu}(\text{N}_3)_4^{2-}$]. Последний комплекс преобладает при конц-ии $\text{N}_3^- > 1$ М. Рассчитаны константы образования промежуточных комплексов $\text{Cu}(\text{N}_3)_2$ и $\text{Cu}(\text{N}_3)_3^-$ [$(2,90 \pm 0,08) \cdot 10^4$ и $(3,02 \pm 0,07) \cdot 10^5$ соотв.] и их индивидуальные спектры поглощения. Сделана попытка провести аналогичные измерения потенциометрич. методом с использованием Э с тв. мембраной CuS , $\text{Ag}_2\text{S}/\text{Ag}$. Однако полученные результаты не совпадают с данными спектрофотометрич. метода.

Обсуждены причины расхождения. К ним могут относиться стабилизация $\text{Cu}(1+)$ в р-ре за счет комплексообразования с N_3^- и связанное с ней наложение на отклик Э для системы $\text{Cu}(2+)/\text{Cu}$ Пт системы $\text{Cu}(2+)/\text{Cu}(1+)$, а также окисление сульфида металла до сульфата азотоводородной к-той или комплексами $\text{Cu}(2+)$.

А. Р. Тимербаев

1981

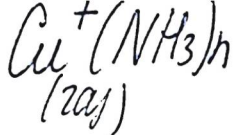


2 Б1095. Изучение термического разложения $\text{Cu}(\text{NO}_3)_2 \cdot 3\text{H}_2\text{O}$. Ghose J., Капунго. Studies on the thermal decomposition of $\text{Cu}(\text{NO}_3)_2 \cdot 3\text{H}_2\text{O}$. «J. Therm. Anal.», 1981, 20, № 2, 459—462 (англ.; рез. нем., рус.)

Исследованы условия термич. разл. трехводн. гидрата азотнокислой меди с применением методов ДТА, ДТГ, ТГА, рентгенографии и микроскопии. Показано, что дегидратация и полное разл. трехводн. нитрата меди до окиси меди протекают в несколько стадий с образованием промежут. фаз: дигидрата нитрата меди $\text{Cu}(\text{NO}_3)_2 \cdot 2\text{H}_2\text{O}$, плавящегося при 391 К, и основного нитрата меди $\text{Cu}(\text{NO}_3)_2 \cdot 3\text{Cu}(\text{OH})_2$ — монокл. структуры — при т-ре 476 К. Конечный продукт нагрева трехводн. соли — CuO при т-ре 583 К. О. К. Янатьева]

Tm

X. 1982, 19 АБ, № 2.



Ommenck 14518

1982

$\Delta_f H^\circ$, $\Delta_f G^\circ$,
 ΔS°

Holland P.M., Castleman A.W., Jr.,
J. Chem. Phys., 1982, 76,
N8, 4195-4205.

$\text{CuBr}_2(\text{NH}_3)_2$

1982

$\text{CuCl}_2(\text{NH}_3)_2$

21 Б1044. Влияние высокого давления на дисторсионные изомеры $\text{CuBr}_2(\text{NH}_3)_2$ и $\text{CuCl}_2(\text{NH}_3)_2$. Rápková B., Šerátor M., Gázo J., Strácelský J. The effect of high pressure on distortion isomers of $\text{CuBr}_2(\text{NH}_3)_2$ and $\text{CuCl}_2(\text{NH}_3)_2$. «Inorg. chim. acta», 1982, 60, 171—175 (англ.)

В аппарате типа поршень—цилиндр, а также на маковальнях Бриджмена из карбида вольфрама и алмаза, приспособленных для оптич. и рентгеновских исследований при высоком давл., исследован фазовый переход $\alpha \rightarrow \beta$ в $\text{CuCl}_2(\text{NH}_3)_2$ (I) и $\text{CuBr}_2(\text{NH}_3)_2$ (II). Приведены межплоскостные расстояния α - и β -фаз I и II. Отмечено, что β -фазы могут быть получены при атмосферном давл. только в матрице NH_4Cl . При давл. $< 0,28$ ГПа для I и 1,18 ГПа для II при комн. т-ре наблюдается фазовый переход из α - в β -модификацию, степень превращения и скорость перехода уве-

T_{2j}

(4)

X. 1982, 19, w21

личиваются во всем исследованием диапазоне давл. до 5 ГПа. Чистые β -фазы, полученные давл., метастабильны при атм. давл., однако для I обратный переход проистекает быстро, а для II сравнительно медленно. β -фаза II м. б. также получена путем размола α -модификации в шаровых мельницах. β -модификации, полученные хим. путем и стабилизированные NH_4Cl , не испытывают фазовых изменений до давл. 6 ГПа.

Г. Л. Апариников

CuBr · S₄N₄

1982

24 Б482. S₄N₄ и его производные: синтез, структура и термолиз CuBr · S₄N₄. Thewalt Ulf, Mülliger Bernhard. S₄N₄ und seine Derivate: Darstellung, Struktur und Thermolyse von CuBr · S₄N₄. «Z. Naturforsch.», 1982, B37, № 7, 828—831 (нем.; рез. англ.)

Осуществлен синтез (взаимодействием S₄N₄, Cu(NO₃)₂ · 3H₂O и NH₄Br в р-ре метанола), хим., ИК-спектральное, рентгенографич. (МНК, анизотропное приближение, $R = 0,048$ для 1728 отражений) и термич. исследование кристаллов CuBr · S₄N₄ (I). Для I установлена изоструктурность с CuCl · S₄N₄ и параметры монокл. решетки: $a = 9,136 \text{ \AA}$, $b = 11,911$, $c = 6,935$, $\beta = 105,71^\circ$, ρ (изм.) 2,92, ρ (выч.) 2,996, $Z = 4$, ф. гр. $P2_1/c$. Структура I содержит зигзагообразные цепочки CuBr (Cu—Br 2,381, 2,416 Å, Br—Cu—Br 124,6°), связанные между собой кольцевыми молекулами S₄N₄ (S—N 1,626—1,653 Å), имеющими ту же конфигурацию, что и в соединении S₄N₄. Кроме двух атомов Br атомы Cu имеют в бли-

*структур
параллель
решетки*

X. 1982, 19, N 24

жайшем окружении еще по два атома N, дополняющих координацию Cu до искаженного тетраэдра (Cu—N 2,091, 2,101). Разложение I при нагревании в вакууме имеет место при т-ре 180° с образованием CuBr, S₄N₄ (монокл., *a* 8,798 Å, *b* 7,184, *c* 8,712, β 92,46°, ф. гр. *P*2₁/*n*) и S₂N₂ (монокл., *a* 4,496, *b* 3,833, *c* 8,489, β 105,65°, ф. гр. *P*2₁/*c*). С. В. Соболева

Aek - A
L - unrecognizable
allgemein

if H0;

1982

97: 79982f Effect of temperature on heats of formation of copper iminodiacetate complexes in an aqueous solution. Vasil'ev, V. P.; Romanova, L. M. (USSR). *Zh. Neorg. Khim.* 1982, 27(7), 1734-9 (Russ). The heats of reaction between Cu(NO₃)₂ solns. and iminodiacetic acid were measured calorimetrically. The heats of formation of 1:1 and 1:2 Cu iminodiacetate complexes were detd. at 15, 25, and 35° and ionic strengths 0.2, 0.5, and 1.0 (KNO₃). The heats of formation of complexes were found to vary linearly with the temp. and ionic strength of the soln. The of ΔC_p values of both CuL and CuL²⁺ complexes decreased with the increasing ionic strength.

c.A.1982, 97, n10

1984

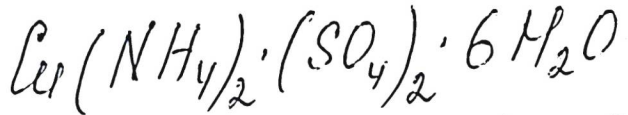
*Cu(NH₄)₂Cl₄**РДФД*

21 Б3278. Индуцированные давлением и магнитным полем фазовые переходы в магнитодиэлектрике $\text{Cu}(\text{NH}_4)_2\text{Cl}_4 \cdot 2\text{H}_2\text{O}$. Герман Б. Р., Дьяконов В. П., Маркович В. И., Цинцадзе Г. А. «Физ. тверд. тела» (Ленинград), 1984, 26, № 12, 3705—3706

Исследовано влияние давл. и магн. поля на крит. поведение модельного гейзенберговского ферромагнетика $\text{Cu}(\text{NH}_4)_2\text{Cl}_4 \cdot 2\text{H}_2\text{O}$ (I). Исследовались монокристаллы I в интервале т-р 0,35—4,2 К при давл. до 10 кбар в полях $H \leq 100$ кЭ. Определена зависимость т-ры Кюри (T_K) I от давл., причем $dT_K/dP = -0,007$ К/кбар. Обсуждены причины такого поведения I. Установлено, что анизотропия I при сжатии до максим. давл. не изменяется. По результатам изучения магн. св-в построена фазовая $T-H$ -диаграмма I, включающая линии, соотв. фазовому переходу ориентац. типа в магнитоупорядоченном состоянии, равновесию многодоменной и однородно намагниченной фаз и переходу в антиферромагн. состояния в магн. поле, направленном вдоль и поперек легкой оси.

В. Е. Смирнов

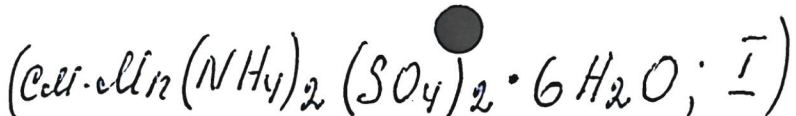
X. 1985, 19, № 21



1984

Kuleshov I.V., Gordeev I.V.,
et al.

$\Delta_f H^\circ_{271}$; *Vestn. Mosk. Univ., Ser. 2:*
Khim. 1984, 25(5), 492-7.



Си(пиразин)(NO₃)₂

1984

7 Б3022. Теплоемкость и магнитная восприимчивость одномерного с $S=1/2$ гейзенберговского антиферромагнетика Си(пиразин)(NO₃)₂. Данные об эффектах случайного обменного взаимодействия при низких температурах. Specific heat and susceptibility of the 1-dimensional $S=\frac{1}{2}$ Heisenberg antiferromagnet Cu(pirazine)(NO₃)₂. Evidence for random exchange effects at low temperatures. Меппенга Г., Jongh L. J. de, Huiskamp W. J., Reedijk J. «J. Magn. and Magn. Mater.», 1984, 44, № 1—2, 88—98 (англ.)

(р)

В интервале т-р 0,04—4,2 К измерена магн. восприимчивость, а в интервале 0,07—18 К — теплоемкость линейного цепочечного гейзенберговского антиферромагнетика Си(пиразин)(NO₃)₂ (I). Ниже 1,5 К исследовались порошкообразные образцы, а выше 1,5 К — монокристаллы игольчатой формы. Результаты измерений свидетельствуют об отсутствии у I в исследованной области до самой низкой т-ры (соотв. $k_B T/J = 0,01$, где,

ж. 1985, 19, № 7

J/k_B — параметр обменного взаимодействия) каких-либо фазовых переходов, в том числе дальнодействующего трехмерного межцепочечного упорядочения. На поведение магн. восприимчивости и в меньшей степени на псевдотемпературу T_1 оказывают влияние вклады случайного обменного взаимодействия, по-видимому, возникающие из случайных дефектов решетки. Эти дефекты приводят к разрыву цепочек на слабо связанные конечные сегменты со средней длиной около 200 узлов решетки, причем сегменты с нечетным числом спинов действуют как системы сильно разбавленных слабо взаимодействующих спинов с $s=1/2$. Предполагается, что случайные дефекты будут сдерживать фазовый переход в трехмерное упорядоченное состояние или маскировать его появление в тех случаях, когда рассматриваются данные по магн. восприимчивости и теплоемкости. Кроме того, эти случайные дефекты приводят к явлениям случайного обменного взаимодействия, подобных тем, к-рые наблюдаются в др. квазидиодмерных антиферромагнитных системах.

$(CH_3NH_3)_2 \cdot CuCl_4$
 $(CD_3ND_3)_2 \cdot CuCl_4$

1984

9 E632. Некоторые структурные свойства $(CH_3NH_3)_2CuCl_4$ и $(CD_3ND_3)_2CuCl_4$. Some structural properties of $(CH_3NH_3)_2CuCl_4$ and $(CD_3ND_3)_2CuCl_4$. Steijger J. J. M., Frikkee E., De Jongh L. J., Huiskamp W. J. «Physica», 1984, BC123, № 3, 284—290 (англ.)

На моно- и поликристаллах соединений со слоистой структурой в интервале т-р 1,5—365 К рентгенографически и нейтронографически измерены параметры решеток. При нагреве до ~260 К низкотемпературная моноклинная фаза постепенно переходит в ромбическую, которая при 348 К превращается в тетрагональную. Этот переход относится к 1-му роду. Б. Г. Алапин

T₂)

окт. 1984, 18, № 9

$\text{Cu}(\text{NO}_3)_2 \cdot \text{H}_2\text{O}$

1984

Джумеко А.Н.,

разов.

превращ.

Абтореф. дис. на соиск.
учен. степ. канд. хим.
наук. М., 1984, 18с.



NH₄CiF₃ [Om. 22291] 1985

Petrov F., Volodkovich L. et al.,
Vecher R. A.,

Gp; Thermochim. acta, 1985,
92, 337-340.

$NH_4 CuF_3$

1985

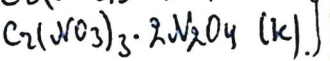
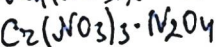
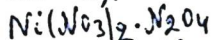
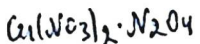
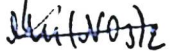
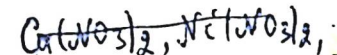
Petrov G. S., Volodkovich L. M.,
et al.

Thermochim. acta, 1985, 92:

Gp; Therm. Anal. Proc. 8 Int. Conf.,
Bratislava, 19-23 Aug.,
1985. Pt A; 337-340.



1985

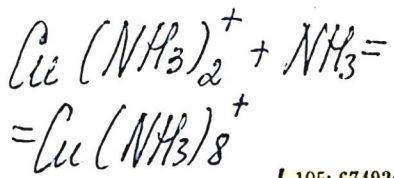
 ΔH

R+3

X. 1986, 19, N2

2 Б3041. Энталпии растворения безводных нитратов хрома, марганца, никеля, меди и их соединений с N_2O_4 в этилацетате. Украинцева Э. А., Нацина А. А., Яковлев И. И. «5 Всес. совещ. по химии невод. растворов неорган. и комплекс. соедин. Тез. докл. Ростов н/Д, 24—26 сент., 1985». М., 1985, 249

С помощью теплопроводящего микрокалориметра р-рения типа Кальве изменены энталпии р-рения в этилацетате безводн. нитратов Cu, Ni, Mn, их соединений с N_2O_4 состава $\text{M}(\text{NO}_3)_2 \cdot \text{N}_2\text{O}_4$, энталпии р-рения $\text{Cr}(\text{NO}_3)_3 \cdot \text{N}_2\text{O}_4$, $\text{Cr}(\text{NO}_3)_3 \cdot 2\text{N}_2\text{O}_4$, а также жидк. N_2O_4 . Определены энталпии процессов $\text{M}(\text{NO}_3)_2$ (тв.) + $+\text{N}_2\text{O}_4$ (ж) = $\text{M}(\text{NO}_3)_2 \cdot \text{N}_2\text{O}_4$ (тв.), где $\text{M}=\text{Cu}, \text{Ni}, \text{Mn}$ и $\text{Cr}(\text{NO}_3)_3$ (тв.) + N_2O_4 (ж) = $\text{Cr}(\text{NO}_3)_3 \cdot 2\text{N}_2\text{O}_4$ (тв.). Значения энталпий этих р-ций невелики (15—24 кДж/моль N_2O_4) и уменьшаются в ряду Cu, Ni, Mn, что согласуется с понижением в этом направлении термич. устойчивости соединений нитратов этих металлов с N_2O_4 . Значение энталпии взаимодействия $\text{Cr}(\text{NO}_3)_3 \cdot \text{N}_2\text{O}_4$ с NO_4 (ж) находится между значениями энталпий соотв. р-ций нитратов Ni и Mn. Из резюме



1986

I 105: 67492s Metal ammine formation in solution. XXV. The stability constant of the triaminine copper(I) complex. Bjerum, Jannik (H. C. Oersted Inst., Univ. Copenhagen, Copenhagen, DK-2100 Den.). *Acta Chem. Scand.*, Ser. A 1986, A40(3), 233-5 (Eng). The stability const. for the reaction $\text{Cu}(\text{NH}_3)_2^+ + \text{NH}_3^- = \text{Cu}(\text{NH}_3)_8^+$ was detd. by a spectrophotometric method at 22-23° as a function of NH_3 conen. in 0.426 and in 0.0426 M NH_4ClO_4 and in 0.100 M NaOH solns. of const. ionic strength 0.5 M. The av. values of the stability const. in 0.038, 0.036 and 0.046, resp. in the above solns.

(K_θ)

C. A. 1986, 105, N8

$\text{Cu}(\text{NO}_3)_2$ | Om. 24821 |

1986

$\text{NaD}_4(\text{K})$ Павліка А.А., Українська РА,
ІІ гп.

Укр. СО АН ССР. Реп. ХІІІ-Н.,
ДТН, 1986, N 15/5, 7-11.

$\text{Cu}(\text{NO}_3)_2 \cdot \text{N}_2\text{O}_4(\text{k})$ (M. 24778) 1986

106: 39370c Standard enthalpy of formation of cupric nitrate compound with dinitrogen tetroxide. Ukraintseva, E. A.; Natsina, A. A.; Tsvelodub, L. D.; Chernyavskii, L. I.; Yakovlev, I. I. (Inst. Neorg. Khim., Novosibirsk, USSR). *Izv. Sib. Otd. Akad. Nauk SSSR, Ser. Khim. Nauk* 1986, (5), 3-7 (Russ). The heat of reaction of $\text{Cu}(\text{NO}_3)_2(\text{c}) + \text{N}_2\text{O}_4(\text{g}) = \text{Cu}(\text{NO}_3)_2 \cdot \text{N}_2\text{O}_4(\text{c})$ was measured calorimetrically (at 298 K) and by using dissoen. pressure measurements. The std. heat of formation of the complex was detd. to be -355 ± 4 kJ/mol.

($\Delta_f H$, $\Delta_f G$)

C.A. 1987, 106, N6

Cu(NO₃)₂ · NaNO₄ (от. 24778) 1986

1 Б3036. Стандартная энталпия образования Cu(NO₃)₂ · N₂O₄. Украинцева Э. А., Нацна А. А., Цвелодуб Л. Д., Чернявский Л. И., Яковлев И. И. «Изв. СО АН СССР. Сер. хим. н.», 1986, № 15/5, 3—7 (рез. англ.)

Тензиметрическим методом из изучения равновесного давления диссоциации Cu(NO₃)₂ · N₂O₄ (I) в интервале 303—353 К и калориметрич. методом из измерений $\Delta_{sol}H_{N_2O_4(l)}$, Cu(NO₃)₂ (II, s) и I (s) в этилацетате определена $\Delta_rH_{II(s)+N_2O_4(g)=I(s)}$, равная $-62,6 \pm 0,9$ кДж/моль. На основании полученных и лит. данных рассчитана Δ_fH° (I), равная -355 ± 4 Дж/моль.

Автореферат

ж. 1987, 19, № 1

Ли (№3)к. Надырк)

1986

Украинцева Э.А., Наумова
А.А. и др.,

ДТН;

XI Всесоюзная конференция
по радиоизотопам в химиче-
ской технологии и химиче-
ской термодинамике, Ново-
сибирск, 1986. Тезисы докладов,
ч. I, 3-4, 23-24.

[Cu(NH₃)₄]²⁺SO₄·H₂O

1990

6 Б3039. Проблемы определения энталпии из кри-
вых ДТА. I. Some problems of the determination of
enthalpy from DTA curves, I / Flóra T. // Acta chim.
hung.— 1990.— 127, № 2.— С. 185—203.— Англ.

Исследованы р-ции термич. разложения [Cu(NH₃)₄]-
SO₄·H₂O (I) и BaCl₂·2H₂O (II) с использованием раз-
личных методик: а) в Pt-тигле на воздухе, с удалением
газа; б) в Pt-тигле без удаления газа; в) в закрытом
крышкой Pt-тигле в N₂ и г) в открытом керамич.
тигле при различных скоростях нагревания в N₂. Уста-
новлено, что эксперим. Δ_{trs}H не всегда согласуются
с вычисленными по термодинамич. св-вам в-в, что
связывается с побочными процессами: разложение NH₃
на H₂ и N₂ и послед. восстановлением тв. продуктов
р-ции по схемам H₂+2CuSO₄=H₂O+2SO₃+Cu₂O, H₂+\n+CuSO₄=H₂O+SO₃+Cu, N₂+4CuSO₄=2NO+2Cu₂O+\n+4SO₃, N₂+2CuSO₄=2NO+2Cu+2SO₃. Присутствие
Cu₂O и Cu установлено методом РФА в тв. продуктах
разложения. Л. А. Резницкий

(ДН)

(4)
X

X. 1991, N6

$\text{Cu}(\text{NH}_3)_x^{2+}$ аз

1990

12 Б3030. Термодинамические характеристики комплексообразования меди(II) с аммиаком в водных растворах / Васильев В. П., Бородин В. А. // Ж. неорг. химии.— 1990.— 35, № 1.— С. 259—261.— Рус.

Калориметрическим методом измерены теплоты взаимодействия р-ров $\text{Cu}(\text{NO}_3)_2$ и аммиака при т-рах 25 и 35° С и ионной силе 1,0; 2,0; 3,0 (NH_4NO_3). Рассчитаны изменения энталпии и энтропии при образовании аммиачных комплексов меди (2+) в условиях эксперимента и при нулевой ионной силе.

Резюме

(AH)

Х. 1990, N 12

Cu_3N [Dn. 34415] 1990

Zachwieja U., Jacob H.,

J. Less-Common Metals.
1990, 161, N1, 175-184.

Ammonothermische Synthese von
Kupferritid, Cu_3N .

$\text{Cu}(\text{NH}_3)_2(\text{NO}_2)_2$

1991

18 Б3111. Термохромные фазовые переходы в комплексных соединениях. I. $\text{Cu}(\text{NH}_3)_2(\text{NO}_2)_2$. Transiciones de fase termocromicas de compuestos de coordinacion. I. Diamin-Dinitro Cobre(II) / Fernandez V., Garcia J., Gutierrez-Puebla E., Monge A. // An. quim.— 1991.— 87, № 6.— С. 703—707.— Исп.; рез. англ.

Методами ДСК, ИК-, видимой и ЭПР-спектроскопии изучен термохромный фазовый переход в комплексах $\text{Cu}(\text{NH}_3)_2(\text{NO}_2)_2$. Методом РСА изучена фиолетовая фаза, образующаяся при 35°C . Сделан вывод, что изменение цвета кристалла связано с нитрат-нитритной изомерией.

(T₂)

X. 1992, N 18

1993

NH_4CuF_3
 $(\text{NH}_4)_2\text{CuF}_4$

Синтез
и
кристал-
структур

X. 1993, N 17

17 В1. Синтез и кристаллическая структура фторокупратов аммония NH_4CuF_3 и $(\text{NH}_4)_2\text{CuF}_4$ /Троянов С. И., Морозов И. В., Коренев Ю. М. //Ж. неорган. химии.—1993.—38 ,№ 6 .—С 984—989 .—Рус.

Соединение NH_4CuF_3 (I) получено из водн. р-ра, содержащего NH_4F , CuF_2 и HF (рН 3). при $t=50^\circ \text{C}$, $(\text{NH}_4)_2\text{CuF}_4$ (II) кристаллизуется из р-ра CuF_2 в жидк. NH_4HF_2 при $t=115^\circ \text{C}$. РСТА определены кристаллич. структуры I (структурный тип искаженного перовскита, тетрагон. симметрия, $a = 6,072(2)$, $c = 3,883(2)$ Å, пр. гр. $P4/m\bar{b}m$, $R=0,027$) и II (ячейка типа искаженного K_2NiF_4 , ромбич. симметрия, $a = 13,235(3)$, $b = 6,067(2)$, $c = 6,069(2)$ Å, пр. гр. $Cmca$, $R=0,037$). Структуры содержат тетрагонально вытянутые центросимметричные октаэдры $[\text{CuF}_6]$, связанные общими вершинами в трехмерный каркас (структура I) или слои (структура II). Ионы аммония размещаются в пустотах между октаэдрами, причем большая часть водородных связей типа $\text{N}-\text{H}\cdots\text{F}$ делокализована.

$\text{Cu}(\text{NH}_4)_2\text{Br}_4 \cdot 2\text{H}_2\text{O}$

1994

120: 151805p Phenomenology, specific heat, and corrections to scaling in copper ammonium bromide. Burnett, Stuart S. C.; Gartenhaus, Solomon (Dep. Phys., Purdue Univ., West Lafayette, IN 47907 USA). *Phys. Rev. B: Condens. Matter* 1994, 49(2), 1137-45 (Eng). Exptl. data near the crit. point for the spontaneous magnetization, the zero-field susceptibility, and the sp. heat of the ($S = 1/2$) insulating Heisenberg ferromagnet $\text{Cu}(\text{NH}_4)_2\text{Br}_4 \cdot 2\text{H}_2\text{O}$ are compared with two extensions of asymptotic scaling. One is a previously described phenomenol which is equiv. to the predictions of the renormalization group (RG) when all irrelevant variables are neglected. The second results if one adds to the asymptotic scaling formulas the confluent singularities due to the leading irrelevant variable. Both sets of formulas are consistent with the data for all three quantities: the spontaneous magnetization, the zero-field susceptibility, and the sp. heat, but that overall, the phenomenol requires fewer parameters. A discrepancy between the exptl. and crit. values for the susceptibility exponent is discussed.

(cp)

c.a. 1994, 120, N12

NH_4CuF_3

1994

Морозов И. В.,

Автореферат диссертации
на соискание ученой степени
к. х. н., Москва, 1994.

Кп, А4

Изучение фторокупратов
из солей и аминов в различных
видеях в разно~~б~~ видах и методах

1994

d-(NH₄)₂CuF₄ · 2H₂O

22 Б3130. Полиморфизм дигидрата тетрафторокупрата аммония, синтез и кристаллическая структура β -(NH₄)₂CuF₄ · 2H₂O /Троицкий С. И., Морозов И. В., Коренев Ю. М. //Ж. неорг. химии .—1994 .—39 ,№ 6 .—С. 871—876 .—Рус.

Установлено, что помимо низкотемпературной полиморфной модификации α -(NH₄)₂CuF₄ · 2H₂O, изученной ранее, существует высокотемпературная модификация β -(NH₄)₂CuF₄ · 2H₂O, кристаллизующаяся из водного раствора при 36—45° С. Рентгеноструктурным анализом монокристаллов определено кристаллическое строение β -формы: моноклинная сингония, $a=6.740(3)$, $b=6.748(2)$, $c=30.449(8)$ Å, $\beta=92.21(3)^\circ$, $V=1384.0$ Å³, $z=8$; пр. гр. P2₁/n; $R=0.040$. Структура β -формы, так же как и α -форма, состоит из комплексных ионов [Cu(H₂O)₂F₄]²⁻ и ионов NH₄⁺. В отличие от α -формы в β -форме на длинной

*Полиморфные
формы,
синтез и
кристал-
структур
Х. 1994, № 22*

оси тетрагонально вытянутых октаэдров $[\text{Cu}(\text{H}_2\text{O})_2\text{F}_4]^{2-}$ располагаются атомы О молекул H_2O с расстояниями $\text{Cu}-\text{O}$ 2.29—2.30 Å, тогда как расстояния $\text{Cu}-\text{F}$ существенно короче (1.91—1.94 Å). Соответственно различается и система водородных связей, объединяющих ионы $[\text{Cu}(\text{H}_2\text{O})_2\text{F}_4]^{2-}$ и NH_4^+ .

Cu_n-L

$n \leq 3$

$L = \text{NH}_3, \text{CO},$
 C_2H_4

neop. panel

(+2) X

C. A. 1995, 122, N 22

Cu_n-NH_3

$(n \leq 3)$

1995

122: 248847h Theoretical study of the bonding of ammonia, carbon monoxide, and ethylene, to copper atom, dimer, and trimer. Fournier, Rene (Steacie Instl Mol. Sci., Natl. Res. Council Canada, Ottawa, Can. K1A 0R6). *J. Chem. Phys.* 1995, 102(13), 5396-407 (Eng). Kohn-Sham d.-functional theory (KS-DFT) calcns. were performed for the assocn. complexes Cu_n-L , with $n = 1, 2, 3$, and $L = \text{NH}_3, \text{CO}$, and C_2H_4 . Two geometries for Cu_2-L are considered; with the ligand bonded to a single copper atom ("atop," or A), and with the ligand bonded to both atoms ("bridge," or B). In addn. to A and B, a third geometry was considered for Cu_3-L , with the ligand bonded to all three copper atoms; in each case, no min. was found for that third geometry. I report fully optimized equil. geometries and harmonic frequencies calcd. within the local-spin-d. (LSD) approxn. for all the bound complexes, and ests. of their binding energies obtained with a gradient-cor. exchange-correlation functional. Structure A is the most stable in all cases but, for Cu_3CO and $\text{Cu}_3\text{C}_2\text{H}_4$, structure B is only a few kcal/mol higher in energy. The energetic contribution from the geometrical relaxation of Cu_3 ranges from essentially zero (Cu_3NH_3 B) to 3.4 kcal/mol (Cu_3CO B). In agreement with previous calcns. on $\text{Cu}_n-\text{C}_2\text{H}_2$ and with expts., the calcd. Cu_n-L binding energy is found to increase with n for all

Cu_n-CO

$\text{Cu}_n-\text{C}_2\text{H}_4$ ($n \leq 3$)

ligands. Although the bonding mechanism differs among the three ligands, repulsion of a filled ligand orbital with the half-filled 4s orbital of copper (or 4s-derived mol. orbitals of Cu₂ and Cu₃) always plays an important role, and is responsible for the smaller binding energies in the CuL complexes. This repulsion decreases from Cu to Cu₂ because of charge accumulation in Cu-Cu midbond region and of the greater polarizability of Cu₂. The Cu₃L binding energies are larger than those of Cu₂L mostly because of the greater involvement of copper 4p orbitals in bonding to the ligand. The ligand vibrational frequency shifts relative to the free mols. are compared to expt. and discussed in relation to the nature of the metal-ligand interaction. In particular, an interesting correlation, between the frequency of the NH₃ umbrella mode and the metal-NH₃ binding energy, is likely due to the electrostatic nature of the bond.

$\text{Cu}(\text{NO}_3)_2 \cdot \text{NH}_2\text{O}$

1995

1 Б372. Механизм термического разложения гидратированного нитрата меди в вакууме. Mechanism of thermal decomposition of hydrated copper nitrate in vacuo / L'vov

Boris V., Novichikhin Alexander V. // Spectrochim. acta. B
— 1995 .— 50 , № 12 .— С. 1459—1468 .— Англ.

X. 1997, N 1

1995

F: CuNH₃

P: 1

11Б154. Теоретическое исследование комплексов Cu(H[2]O) и Cu(NH[3]) и продуктов их фотолиза. Theoretical study of the Cu(H[2]O) and Cu(NH[3]) complexes and their photolysis products / Papai I. // J. Chem. Phys. 1995. - 103, N 5. - С. 1860-1870. - Англ.

В рамках функционала плотности с использованием градиентно-коррелированного нелокального ПТ рассчитаны равновесная геометрия, энергии связи, гармонич. частоты колебаний и их интенсивности, изотопич. сдвиги для комплексов Cu(H[2]O) (I) и Cu(NH[3]) (II) и продуктов их фотолиза HCuOH, CuOH, HCuNH[2] и CuNH[2]. Энергии связи в I и II найдены равными 3,7 и 12,0 ккал/моль, соотв.-но. Обсужден механизм фотолиза. найдено, что рассчитанные частоты колебаний исследованных систем хорошо согласуются с данными, полученными методом матричной изоляции. Библ. 63.

Х. 1996, N 11

1995

F: CuNH₂

P: 1

11Б154. Теоретическое исследование комплексов Cu(H[2]O) и Cu(NH[3]) и продуктов их фотолиза. Theoretical study of the Cu(H[2]O) and Cu(NH[3]) complexes and their photolysis products / Papai I. // J. Chem. Phys. 1995. - 103, N 5. - C. 1860-1870. - Англ.

В рамках функционала плотности с использованием градиентно-коррелированного нелокального ПГ рассчитаны равновесная геометрия, энергии связи, гармонич. частоты колебаний и их интенсивности, изотопич. сдвиги для комплексов Cu(H[2]O) (I) и Cu(NH[3]) (II) и продуктов их фотолиза HCuOH, CuOH, HCuNH[2] и CuNH[2]. Энергии связи в I и II найдены равными 3,7 и 12,0 ккал/моль, соответственно. Обсужден механизм фотолиза. найдено, что рассчитанные частоты колебаний исследованных систем хорошо согласуются с данными, полученными методом матричной изоляции. Библ. 63.

X. 1996, N 11

1995

F: HCuNH_2

P: 1

11Б154. Теоретическое исследование комплексов $\text{Cu}(\text{H}[2]\text{O})$ и $\text{Cu}(\text{NH}[3])$ и продуктов их фотолиза. Theoretical study of the $\text{Cu}(\text{H}[2]\text{O})$ and $\text{Cu}(\text{NH}[3])$ complexes and their photolysis products / Papai I. // J. Chem. Phys. 1995. - 103, N 5. - С. 1860-1870. - Англ.

В рамках функционала плотности с использованием градиентно-коррелированного нелокального ПГ рассчитаны равновесная геометрия, энергии связи, гармонич. частоты колебаний и их интенсивности, изотопич. сдвиги для комплексов $\text{Cu}(\text{H}[2]\text{O})$ (I) и $\text{Cu}(\text{NH}[3])$ (II) и продуктов их фотолиза HCuOH , CuOH , $\text{HCuNH}[2]$ и $\text{CuNH}[2]$. Энергии связи в I и II найдены равными 3,7 и 12,0 ккал/моль, соотв.-но. Обсужден механизм фотолиза. Аайдено, что рассчитанные частоты колебаний исследованных систем хорошо согласуются с данными, полученными методом матричной изоляции. Библ. 63.

X. 1996, N //

1995

5Б140. Теоретическое изучение связывания NO_2 с Cu и Ag. Theoretical study of the bonding of NO_2 to Cu and Ag / Rodríguez-Santiago Luis, Branchadell Vicenç, Sodupe Mariona // J. Chem. Phys.— 1995 .— 103, № 22 .— С. 9738—9743 .— Англ.

Неэмпирическими традиционными методами с учетом электронной корреляции и методами, основанными на приближении функционала плотности, исследованы взаимодействия NO_2 с Cu и Ag. Определены три структуры, отвечающие минимумам на поверхностях потенциальной энергии: $\eta^2\text{-O}$, O-бидентатная симметрии C_{2v} и две монодентатные с $\eta^1\text{-O}$ -координацией симметрии C_s и с $\eta^1\text{-N}$ -координацией симметрии C_{2v} . Для обоих систем CuNO_2 (I) и AgNO_2 (II) $\eta^2\text{-O}$, O-координация определяет наиболее устойчивую структуру. Рассчитанные энергии диссоциации для I и II получены равными 56 и 47 ккал/моль соответственно. Библ. 46.

Н: С.

(1) 17

Х. 1997, N5

CuNO_2

1995

canadum,
myriapoda,
mop. pacif.

124: 98220y Theoretical study of the bonding of NO_2 to Cu and Ag. Rodriguez-Santiago, Luis; Branchadell, Vicenc; Sodupe, Mariona (Dep. Quimica, Univ. Autonoma Barcelona, Edifici Cn Bellaterra, Spain 08193). *J. Chem. Phys.* 1995, 103(22), 9738-743 (Eng). The structure, binding energies, and vibrational frequencies have been detd. for CuNO_2 and AgNO_2 in different coordination modes. Calcns. have been performed using ab-initio theor. methods that include electron correlation and methods based on the d.-functional approach. Three structures are found to be stable min. on the potential energy surface: the C_{2v} bidentate $\eta^2\text{-O,O}$, a C_s monodentate $\eta^1\text{-O}$, and the C_{2v} monodentate $\eta^1\text{-N}$ structures. For both CuNO_2 and AgNO_2 systems, the $\eta^2\text{-O,O}$ coordination is found to be the most stable structure. The computed dissociation energies of CuNO_2 and AgNO_2 are 56 and 47 kcal/mol, resp.

⑦ 18 AgNO_2



C. A. 1996, 124, N 8

Cu₃N(KOFeF)

1996

125: 19374w Electronic structure and chemical-bonding mechanism of Cu₃N, Cu₃NPd, and related Cu(I) compounds. Hahn, U.; Weber, W. (Inst. Phys., Univ. Dortmund, D-44221 Dortmund, Germany). *Phys. Rev. B: Condens.-Matter* 1996, 53(19), 12684-12693 (Eng). The electronic structures and the chem.-bonding mechanisms of Cu₃N, Cu₃NPd, and related Cu(I) compds., such as Cu₂O, are studied on the basis of band-structure calcns., using both the linearized APW and LCAO methods. In accordance with exptl. observations, Cu₃N is found to be a semiconductor, while Cu₃NPd should exhibit a semimetallic cond. The chem. bonding is investigated using various methods, among them are the valence charge partitioning scheme of Bader and a basis set redn. technique built on the LCAO method. A partly ionic, partly covalent bonding is found. The admixt. of the Cu (4s, 4p) states to the Cu 3d-N 2p bands resulted to be essential for the covalent bonding effect, since pure 3d-2p bands, with bonding and antibonding states fully occupied, do not lead to a covalent energy gain. This specific hybridization appears to be the origin of the twofold dumbbell like Cu(I) coordination obsd. in Cu₃N and other Cu(I) compds. In Cu₃NPd, a covalent to metallic bonding between the Cu₃N host crystal and the interstitial Pd atoms is found, which is mainly caused by Pd 5s and 5p states hybridizing to Cu 3d states.

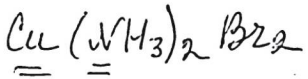
(+) ⊗

C.A. 1996, 125, N2

Cu_2NH_3 (Mr. 38852) 1996

Mitchell S.A., Diaz d.,
et al.,

(DH) J. Phys. Chem. 1996, 100,
N39, 15708 - 15715.



1998

F: beta-Cu(NH₃)₂Br₂

P: 1

23Б2141. О "'альфа', 'бета'-изомерии" Cu(NH[3])[2]Br[2].

On "'альфа', 'бета'-isomerism" of Cu(NH[3])[2]Br[2] :

Abstr. 18th Eur. Crystallogr. Meet. "Mater. Struct.

Chem., Biol., Phys. and Technol.", Pra Aug. 15-20, 1998.

Pt B / Miklos Dusan, Dunaj-Jurco Michal, Jorik Vladimir

Hrubo Milan // Bull. Czech and Slov. Crystallogr. Assoc.

- 1998. - 5, Spe Issue B. - C. 353. - Англ.



(Dn. 40498)

2880

Ahmed M. El-Nahas,

Chem. Phys. Lett., 2080,
329, 176-178

On the existence of $\text{Cu}^{2+}(\text{NH}_3)_{1,2}$
and $\text{Cu}^{2+}(\text{OH}_2)_{1,2}$ in the gas phase.

$Cu^{2+}NH_3$ [Dn. 40497] 2080

$Cu^{2+}H_2O$ Anthony J. Hace et al.,

Chem. Phys. Lett., 2080,
329, 173-175.

Comment on "Do $Cu^{2+}NH_3$ and
 $Cu^{2+}H_2O$ exist?!" theory con-
firms yes!" (Chemical

Physics Letters 318 (2001),
333-339).